

Optoelectronică

Curs 4

2018/2019

Disciplina 2018/2019

- ▶ 2C/1L Optoelectronică **OPTO**
- ▶ **Minim 7 prezente curs + laborator**
- ▶ Curs – conf. **Radu Damian**
 - an IV μE
 - Vineri 8-11, P5
 - E – 70% din nota
 - **20% test la curs**, saptamana 5 – **22.03.2019 ora 10-11**
 - probleme + (2p prez. curs) + (3 teste) + (bonus activitate)
 - **toate materialele permise**
- ▶ Laborator – **sl. Daniel Matasaru**
 - an IV μE
 - Marti 14-16
 - Joi 8-12 par/impar
 - L – 30% din nota (+Caiet de laborator)

Orar 2018/2019

▶ Curs

- Vineri 8–11, P5
- **2C ⇒ 3C**
 - $14 * 2/3 \approx 9.33$
 - $9 \div 10 C$

Bibliografie

- ▶ <http://rf-opto.etti.tuiasi.ro>
- ▶ Irinel Casian-Botez, "Structuri Optoelectronice", Ed. "CANOVA", Iasi 2001, ISBN 973-96099-2-9
- ▶ Behzad Razavi - Design of Integrated Circuits for Optical Communications, Mc Graw Hill
~~<http://rf-opto.etti.tuiasi.ro/docs/opto/>~~
- ▶ IBM - Understanding Optical Communications: on-line <http://rf-opto.etti.tuiasi.ro>
- ▶ Radu Damian, I Casian, D Matăsaru - „Comunicatii Optice” , Indrumar de laborator, 2005

Fotografii



Date:

| | |
|----------------------|--|
| Grupa | 5304 (2015/2016) |
| Specializarea | Tehnologii si sisteme de telecomunicatii |
| Marca | 5184 |

[Trimite email acestui student](#) | [Adauga acest student la lista \(0\)](#)

Detalii curente

Observatii

| | |
|------------------|------------|
| Finantare | Buget |
| Bursa | Fara Bursa |



Date:

| | |
|----------------------|--|
| Grupa | 5304 (2015/2016) |
| Specializarea | Tehnologii si sisteme de telecomunicatii |
| Marca | 5184 |

[Acceseaza ca acest student](#)

Note obtinute

| Disciplina | Tip | Data | Descriere | Nota | Puncte | Obs. |
|------------|-----------------------|------------|------------------------------------|------|--------|------|
| TW | Tehnologii Web | | | | | |
| | N | 17/01/2014 | Nota finala | 10 | - | |
| | A | 17/01/2014 | Colocviu Tehnologii Web 2013/2014 | 10 | 7.55 | |
| | B | 17/01/2014 | Laborator Tehnologii Web 2013/2014 | 9 | - | |
| | D | 17/01/2014 | Tema Tehnologii Web 2013/2014 | 9 | - | |



Date:

| | |
|----------------------|--|
| Grupa | 5304 (2015/2016) |
| Specializarea | Tehnologii si sisteme de telecomunicatii |
| Marca | 5244 |

[Trimite email acestui student](#) | [Adauga acest student la lista \(0\)](#)

Detalii curente

Observatii

| | |
|------------------|-----------------|
| Finantare | Buget |
| Bursa | Bursa de Studii |

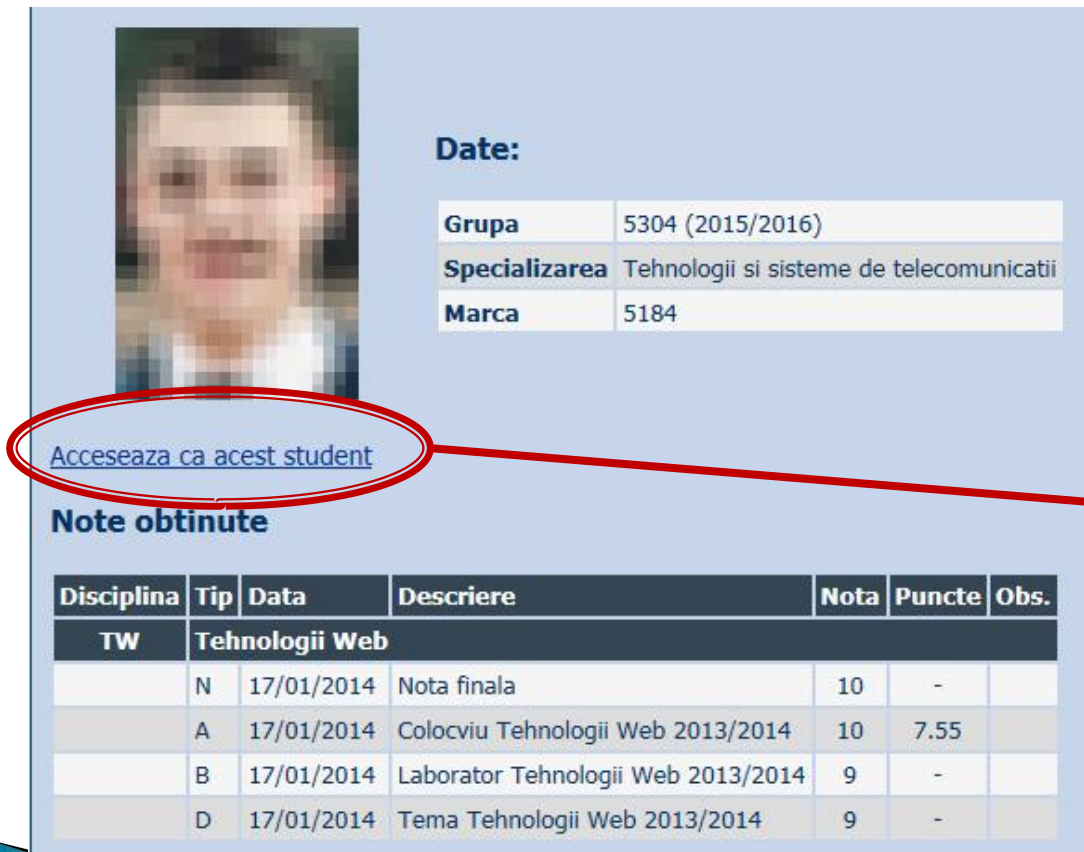
Fotografii

| Nr. Student | Prezent | Nr. Student | Prezent | Nr. Student | Prezent |
|--------------------------|--------------------------|--------------------------|-------------------------------------|--------------------------|--------------------------|
| 1 ANGHIELUS IONUT-MARIUS | <input type="checkbox"/> | 2 ANTIGHIN FLORIN-RAZVAN | <input type="checkbox"/> | 3 ANTONICA BIANCA | <input type="checkbox"/> |
| 4 APOSTOL PAVEL-MANUEL | <input type="checkbox"/> | 5 BALASCA IULIAN-PETRU | <input checked="" type="checkbox"/> | 6 BOSTAN ANDREI-PETRICIA | <input type="checkbox"/> |
| 7 BOTEZAT EMANUEL | <input type="checkbox"/> | 8 BUTUNOI GEORGE-MADALIN | <input type="checkbox"/> | 9 CHILEA SALUCA-MARIA | <input type="checkbox"/> |
| 10 CHERITOIU ECATERINA | <input type="checkbox"/> | 11 COJOC MARIUS | <input checked="" type="checkbox"/> | 12 COJOCARI AURA-FLORINA | <input type="checkbox"/> |

| Nr. Student | Prezent |
|---------------------------------|--|
| 2 <u>ANTIGHIN FLORIN-RAZVAN</u> | <input type="checkbox"/> Puncte: 0 Nota: 0 Obs: |

Acces

▶ Personalizat



Student profile page showing a blurred photo, personal details, and a table of grades. A red oval highlights the link "Acceseaza ca acest student" and an arrow points to the login form on the right.

Date:

| | |
|---------------|--|
| Grupa | 5304 (2015/2016) |
| Specializarea | Tehnologii si sisteme de telecomunicatii |
| Marca | 5184 |

[Acceseaza ca acest student](#)

Note obtinute

| Disciplina | Tip | Data | Descriere | Nota | Puncte | Obs. |
|------------|----------------|------------|------------------------------------|------|--------|------|
| TW | Tehnologii Web | | | | | |
| N | | 17/01/2014 | Nota finala | 10 | - | |
| A | | 17/01/2014 | Colocviu Tehnologii Web 2013/2014 | 10 | 7.55 | |
| B | | 17/01/2014 | Laborator Tehnologii Web 2013/2014 | 9 | - | |
| D | | 17/01/2014 | Tema Tehnologii Web 2013/2014 | 9 | - | |



Login form with fields for Name, Email, and Verification Code. A red oval highlights the Email field, another red oval highlights the Verification Code field (containing the code 344bd9f), and a "Trimite" button is at the bottom.

Nume

Email

Cod de verificare

Trimite

Reprezentare logaritmică

$$\text{dB} = 10 \cdot \log_{10} (P_2 / P_1)$$

$$\text{dBm} = 10 \cdot \log_{10} (P / 1 \text{ mW})$$

$$0 \text{ dB} = 1$$

$$+ 0.1 \text{ dB} = 1.023 (+2.3\%)$$

$$+ 3 \text{ dB} = 2$$

$$+ 5 \text{ dB} = 3$$

$$+ 10 \text{ dB} = 10$$

$$-3 \text{ dB} = 0.5$$

$$-10 \text{ dB} = 0.1$$

$$-20 \text{ dB} = 0.01$$

$$-30 \text{ dB} = 0.001$$

$$0 \text{ dBm} = 1 \text{ mW}$$

$$3 \text{ dBm} = 2 \text{ mW}$$

$$5 \text{ dBm} = 3 \text{ mW}$$

$$10 \text{ dBm} = 10 \text{ mW}$$

$$20 \text{ dBm} = 100 \text{ mW}$$

$$-3 \text{ dBm} = 0.5 \text{ mW}$$

$$-10 \text{ dBm} = 100 \mu\text{W}$$

$$-30 \text{ dBm} = 1 \mu\text{W}$$

$$-60 \text{ dBm} = 1 \text{ nW}$$

$$[\text{dBm}] + [\text{dB}] = [\text{dBm}]$$

$$[\text{dBm/Hz}] + [\text{dB}] = [\text{dBm/Hz}]$$

$$[\text{x}] + [\text{dB}] = [\text{x}]$$

Calculul atenuarii

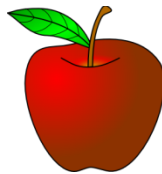
$$\text{Pierderi} = \frac{P_{out}}{P_{in}}$$

$$\text{Pierderi [dB]} = [-] 10 \cdot \log_{10} \left(\frac{P_{out}}{P_{in}} \right)$$

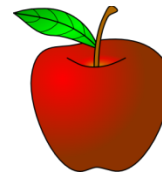
$$\text{Pierderi [dB]} = [-] (P_{out} [\text{dBm}] - P_{in} [\text{dBm}])$$



=



-



$$\text{Atenuare [dB/km]} = \frac{\text{Pierderi [dB]}}{\text{lungime [km]}}$$

Recapitulare

Lumina ca undă electromagnetică

Capitolul 2

Parametri, dependenta de mediu

$$\eta_0 = \sqrt{\frac{\mu_0}{\varepsilon_0}} = 377\Omega$$

$$c_0 = \frac{1}{\sqrt{\varepsilon_0 \cdot \mu_0}} = 2,99790 \cdot 10^8 \text{ m/s}$$

$n = 1$

$$T = \frac{2\pi}{\omega} = \frac{1}{f}$$

$$\lambda_0 = \frac{2\pi}{\beta} = \frac{c_0}{f}$$

$$\eta = \frac{\eta_0}{n}$$

$$c = \frac{c_0}{n}$$

$n = \sqrt{\varepsilon_r}$

$$T = \frac{2\pi}{\omega} = \frac{1}{f}$$

$$\lambda = \frac{c_0}{n \cdot f} = \frac{\lambda_0}{n}$$

$$\lambda = \lambda(n)$$

$$f = \text{indep.}$$

ITU G.692

"the allowed channel frequencies are based on a 50 GHz grid with the reference frequency at 193.10 THz"

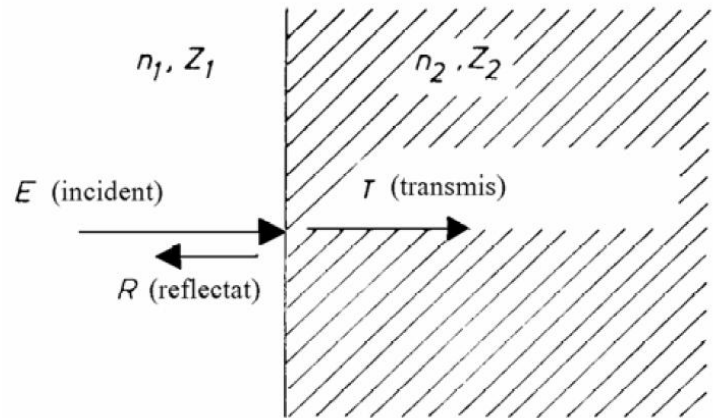
SI

"a source that emits monochromatic radiation of frequency $540 \cdot 10^{12}$ Hz"

Transmisia puterii între medii

- ▶ incidenta normala
- ▶ reflexia in amplitudine

$$Z = \frac{Z_0}{n} \quad \Gamma = \frac{Z_2 - Z_1}{Z_2 + Z_1} = \frac{n_1 - n_2}{n_1 + n_2}$$



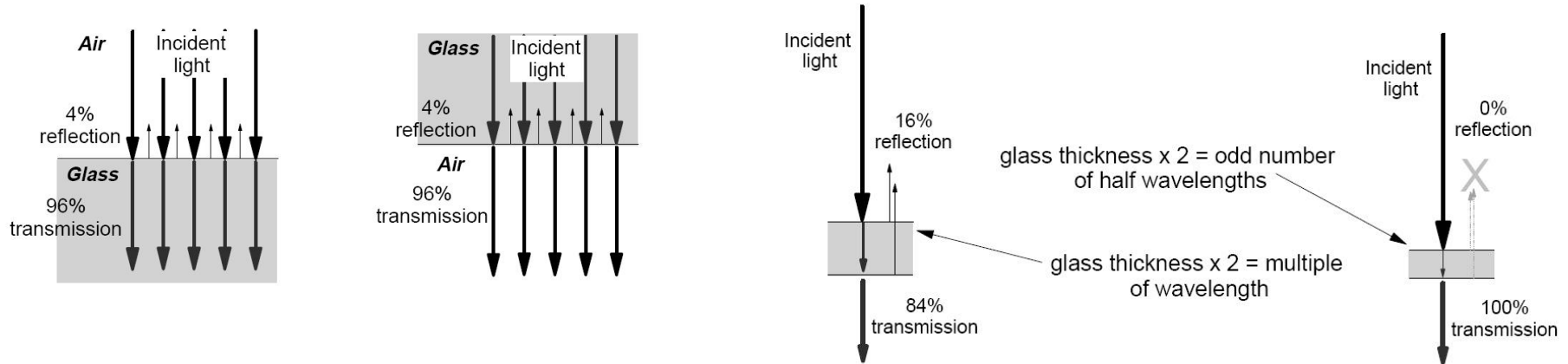
- ▶ densitatea de putere proportionala cu
patratul amplitudinii câmpului

$$r = \left(\frac{n_1 - n_2}{n_1 + n_2} \right)^2 \quad t = \left(\frac{2n_1}{n_1 + n_2} \right)^2$$

- ▶ interfata aer–sticla ($n_1 = 1$, $n_2 = 1.5$)

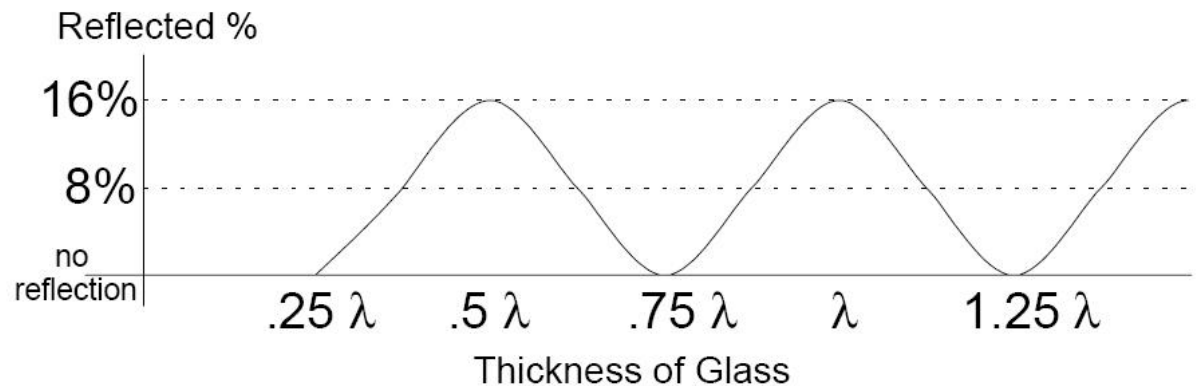
$$r = 0.04 = 4\%$$

Transmisia printr-o lamela



$$\Gamma = \frac{1.5 - 1}{1.5 + 1} = 0.2; \quad r = \Gamma^2 = 0.04 = 4\% \quad \Gamma_{\max} = 0.2 + 0.2; \quad r_{\max} = \Gamma_{\max}^2 = 0.16 = 16\%$$

- ▶ apare interferența între diversele unde reflectate
- ▶ se adună câmpurile nu puterile
- ▶ lamele antireflexive



Polarizarea luminii

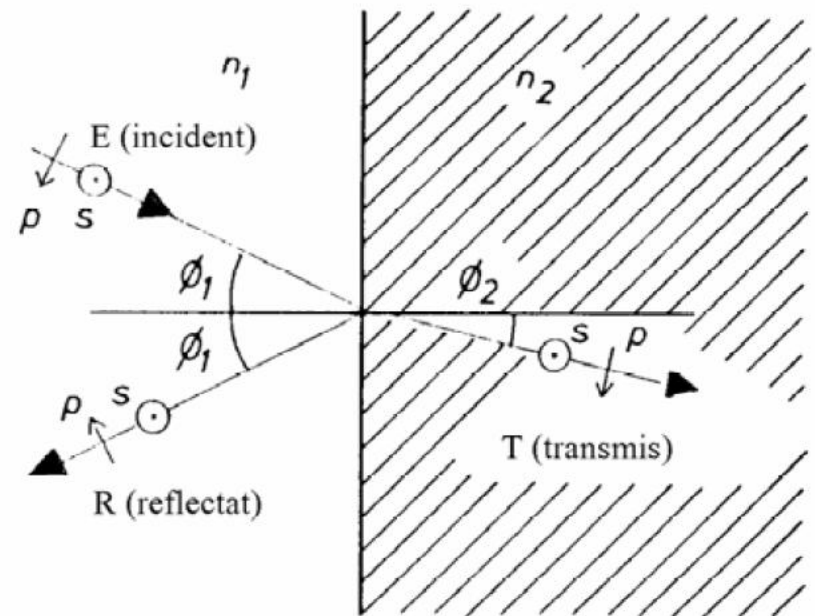
- ▶ incidenta oblica
- ▶ reflexiile in amplitudine a campului:

$$r_s = -\frac{\sin(\phi_1 - \phi_2)}{\sin(\phi_1 + \phi_2)}$$

$$r_p = \frac{\tan(\phi_1 - \phi_2)}{\tan(\phi_1 + \phi_2)}$$

$$t_s = \frac{2 \sin \phi_2 \cos \phi_1}{\sin(\phi_1 + \phi_2)}$$

$$t_p = \frac{2 \sin \phi_2 \cos \phi_1}{\sin(\phi_1 + \phi_2) \cos(\phi_1 - \phi_2)}$$



Unghi Brewster

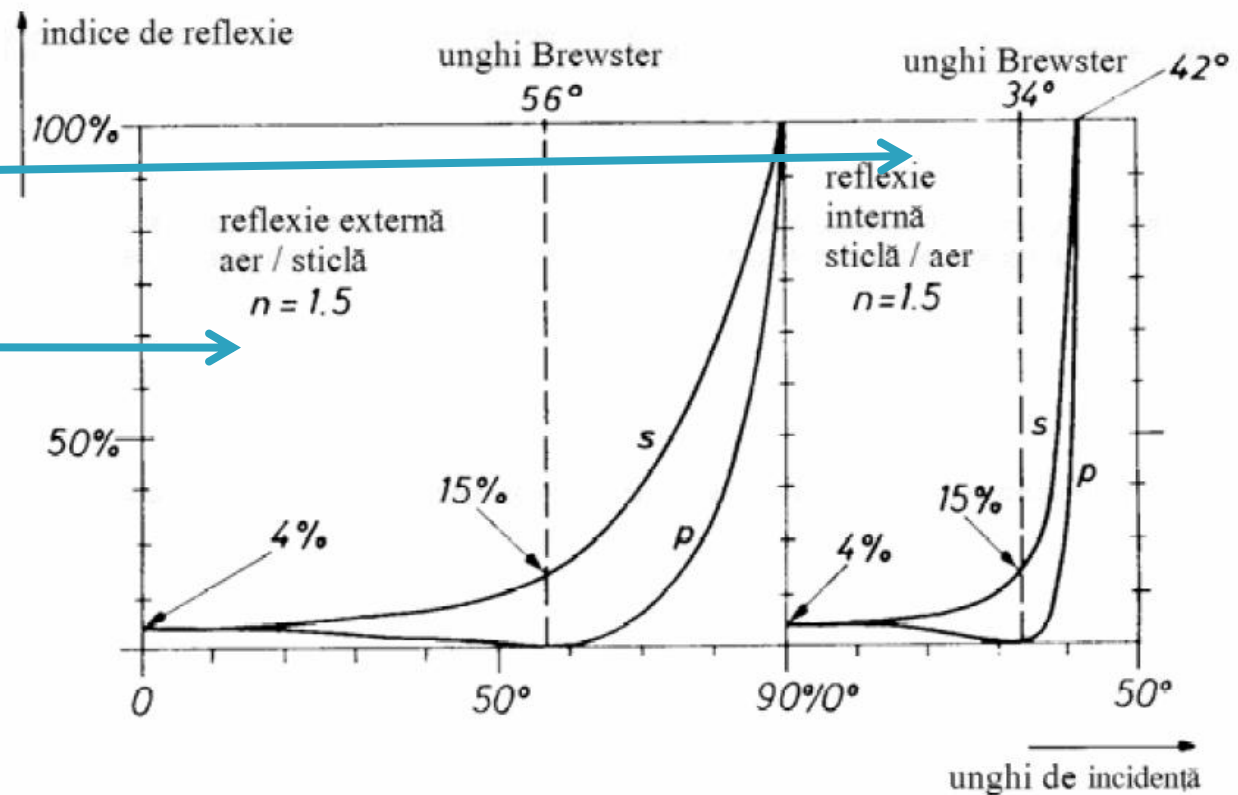
$$r_p = 0 \Rightarrow \tan(\phi_1 + \phi_2) \rightarrow \infty \Rightarrow \phi_1 + \phi_2 = \frac{\pi}{2}$$

$$n_1 \cdot \sin \phi_1 = n_2 \cdot \sin \phi_2 = n_2 \cdot \cos \phi_1$$

$$\phi_B = \arctan\left(\frac{n_2}{n_1}\right)$$

$$\phi_B = 34^\circ$$

$$\phi_B = 56^\circ$$



Optică geometrică

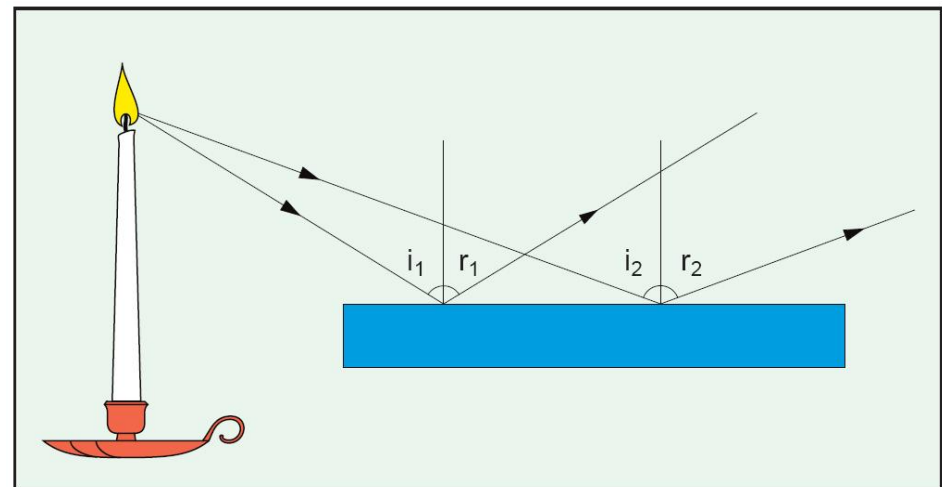
(tot) Capitolul 2

Reflexia luminii

- ▶ la suprafata de separatie dintre doua medii, (o parte din) lumina se intoarce in mediul de incidenta
- ▶ unghiul dintre raza incidenta si normala (ϕ_i) este egal cu unghiul dintre raza reflectata si normala (ϕ_r)

▶ Legea reflexiei

$$\phi_i = \phi_r$$



Refractia luminii

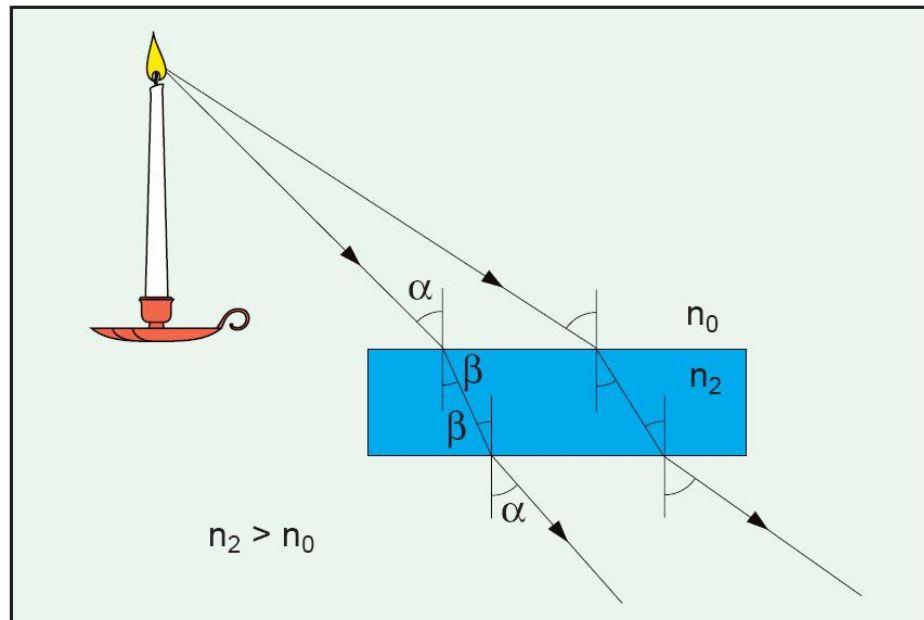
- ▶ la suprafața de separație dintre doua medii, (o parte din) lumina se (poate) propaga in mediul de transmisie sub un unghi diferit de unghiul incident
- ▶ la trecerea in medii mai “dense” (optic) lumina se apropie de normala
- ▶ la trecerea in medii mai “puțin dense” (optic) lumina se depărtează de normala

▶ Legea lui Snell (a refracției)

$$n_1 \cdot \sin \phi_i = n_2 \cdot \sin \phi_R$$

ϕ_i - unghi incident (in n_1)

ϕ_R - unghi de refracție (in n_2)



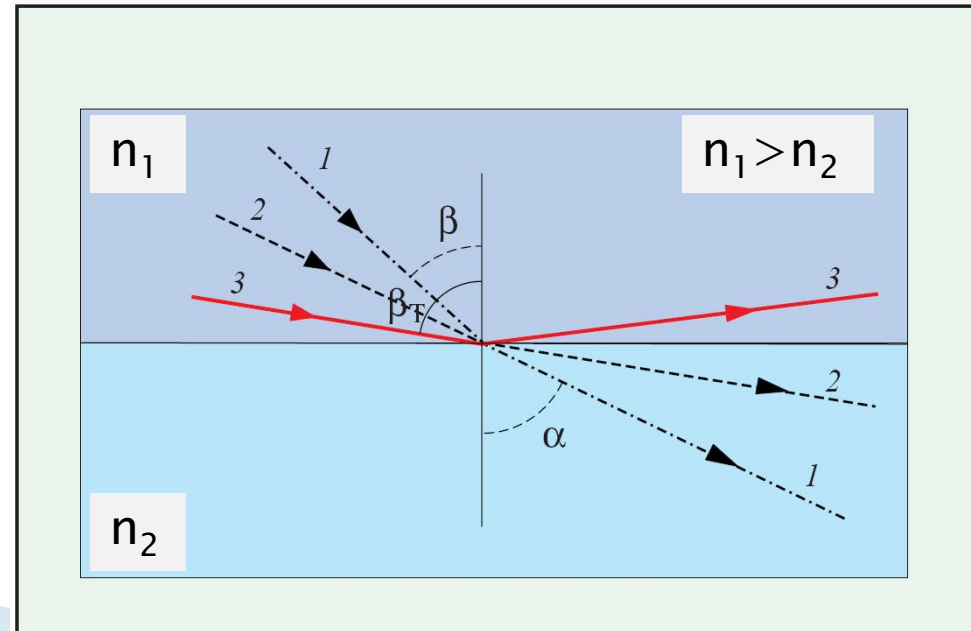
Reflexia totala

- ▶ Apare **numai când** lumina se propaga dintr-un mediu mai dens optic într-un mediu mai puțin dens
- ▶ La intersecția luminii cu suprafața de separație a doua medii se întâlnesc în general raze reflectate **și** raze refractate
- ▶ Pentru un unghi de incidență numit **unghi critic**, raza refractată se obține în lungul suprafeței de separație
- ▶ Pentru orice unghi mai mare decât unghiul critic există numai raza reflectată

$$n_1 > n_2; \quad \phi_R = 90^\circ$$

$$n_1 \cdot \sin \phi_C = n_2$$

$$\phi_C = \arcsin\left(\frac{n_2}{n_1}\right)$$



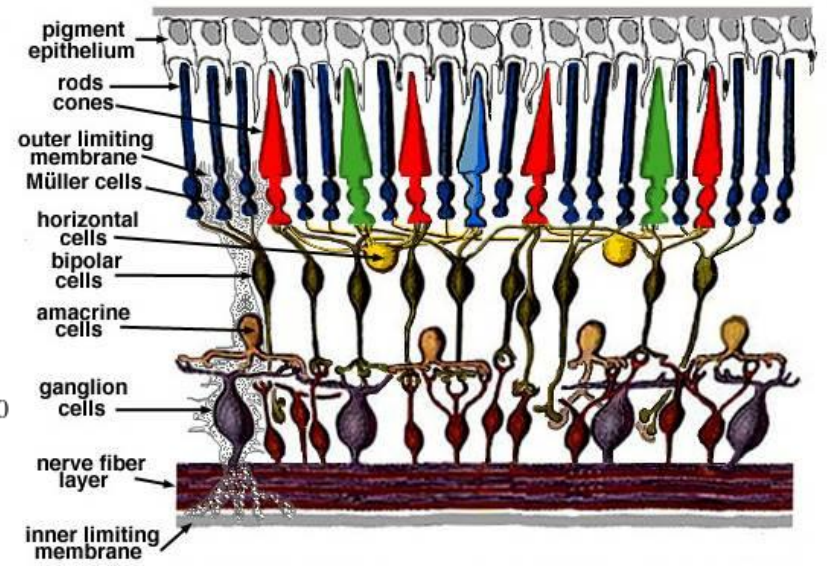
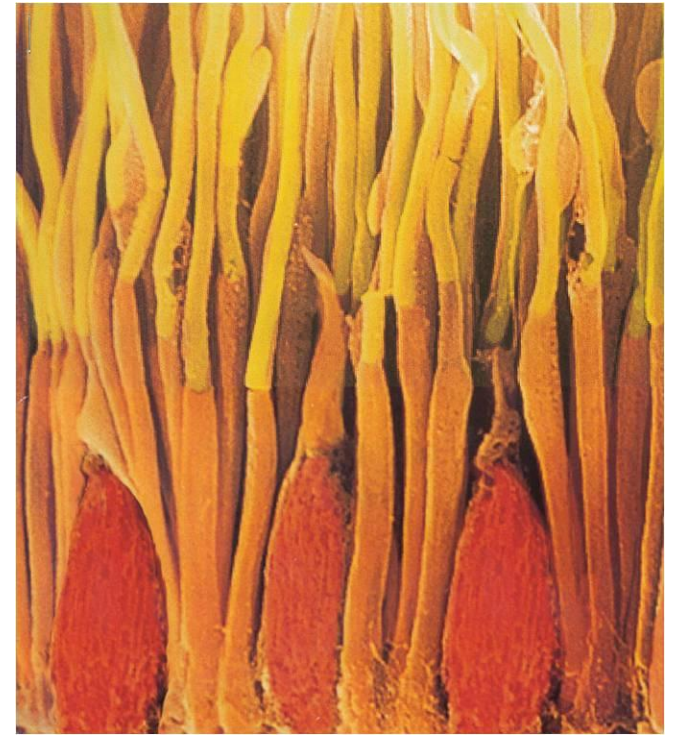
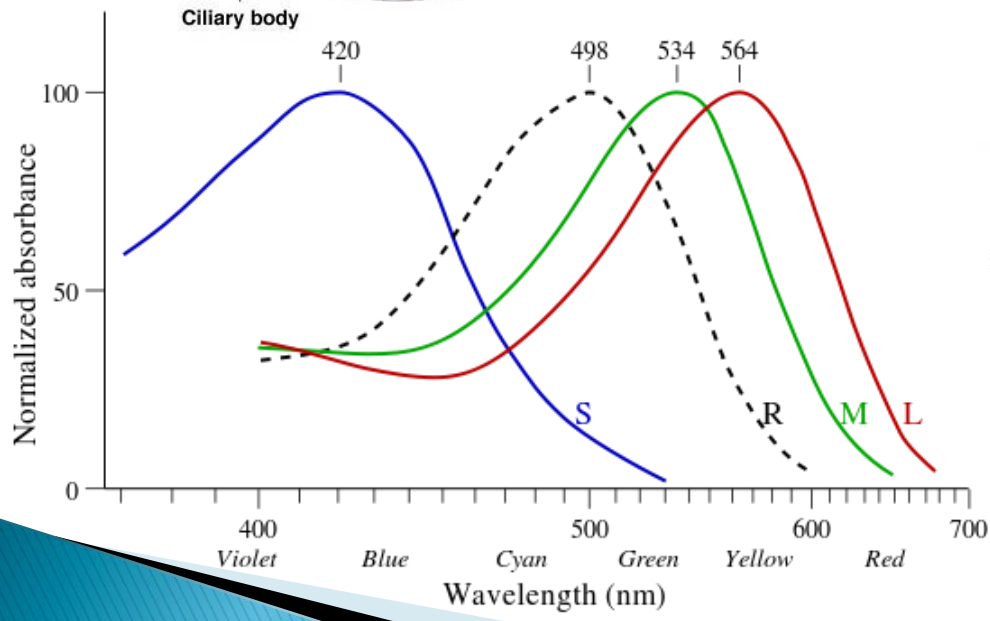
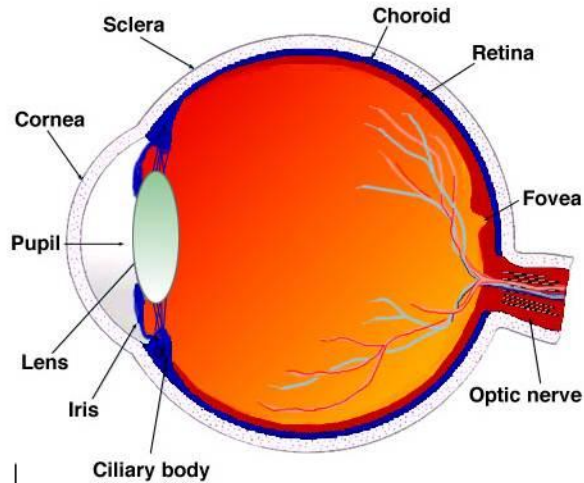
Fotometrie și radiometrie

Capitolul 3

Aplicatii majore

- ▶ Comunicatii
 - Infrarosu (InGaAsP)
- ▶ Vizibil
 - Spectru vizibil (GaAlAs)
- ▶ Iluminare
 - Putere ridicata, lumina alba (GaInN)

Ochiul uman



Standarde

- ▶ Se incearca definirea omului “standard”
- ▶ CIE – Commission Internationale de l'Éclairage
 - 1931 – luminozitatea relativa standard $V(\lambda)$ – **fotopic**
 - 1951 – luminozitatea relativa standard $V(\lambda)$ – **scotopic**
 - 1978 – Vos
 - 2005 – Sharpe, Stockman, Jagla, Jägle
 - 2008 – CIE $V(\lambda)$ – fotopic (~Sharpe)
- ▶ Sensibilitatea maxima a ochiului uman
 - vedere diurna (**fotopic**), $\lambda=555$ nm, $\eta_v = 683$ lm/W
 - vedere nocturna (**scotopic**), $\lambda=507$ nm, $\eta_v = 1700$ lm/W

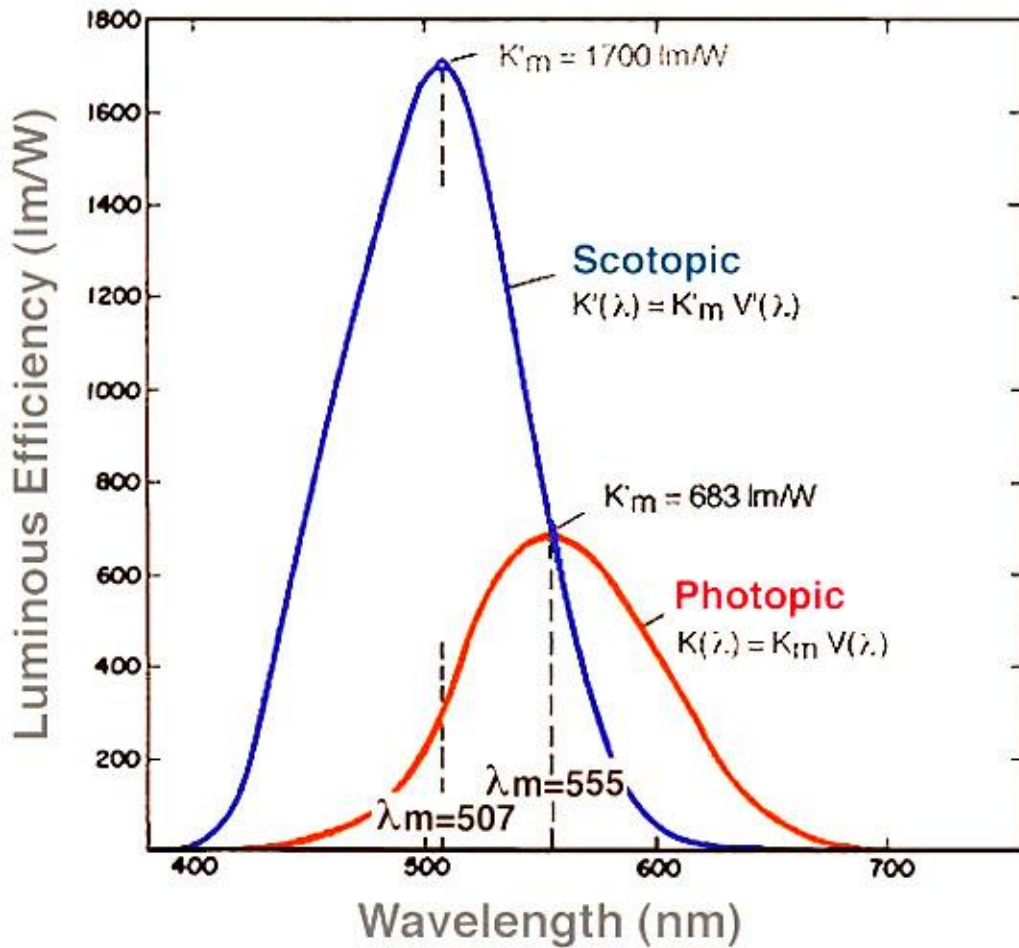
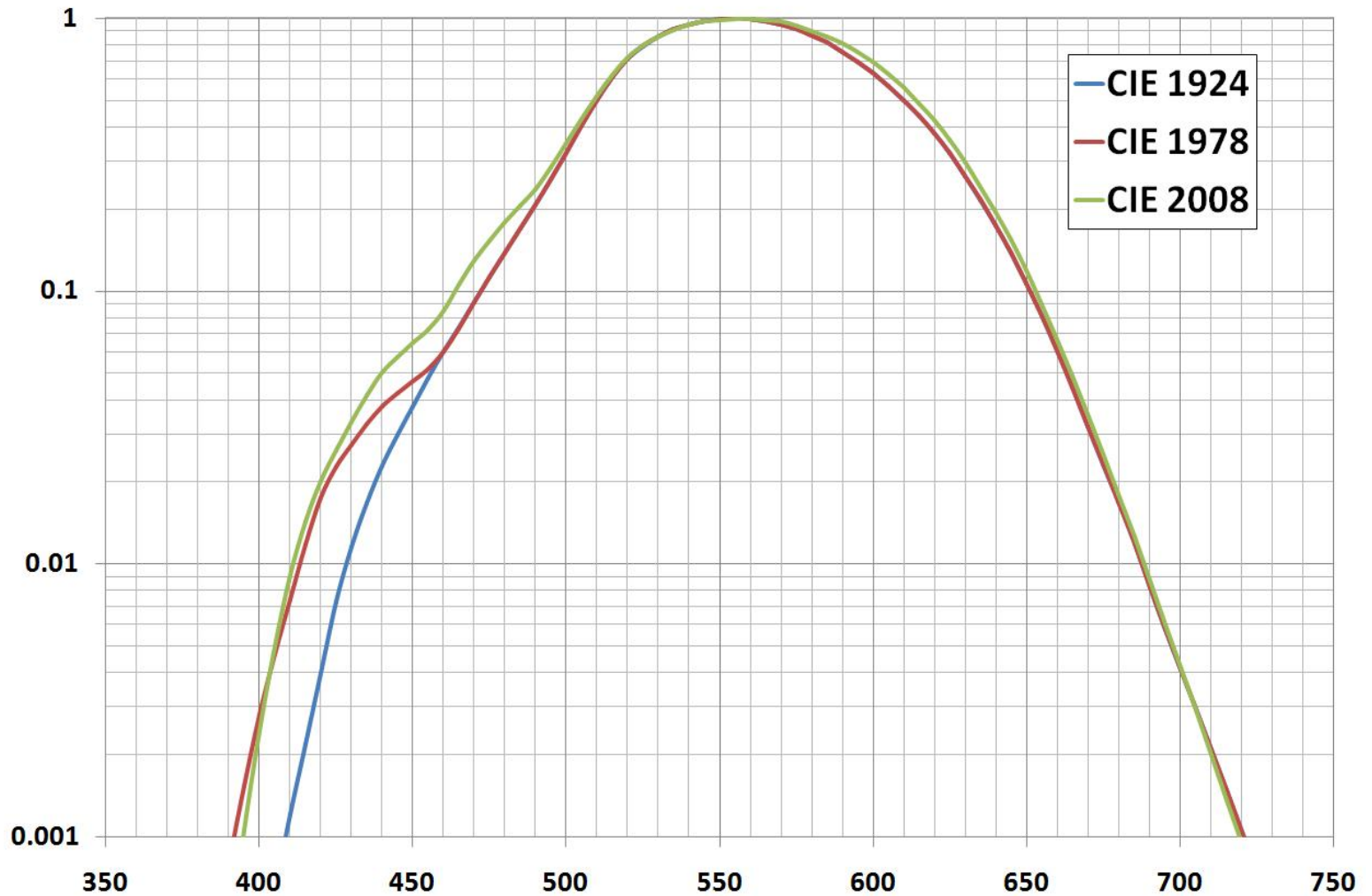


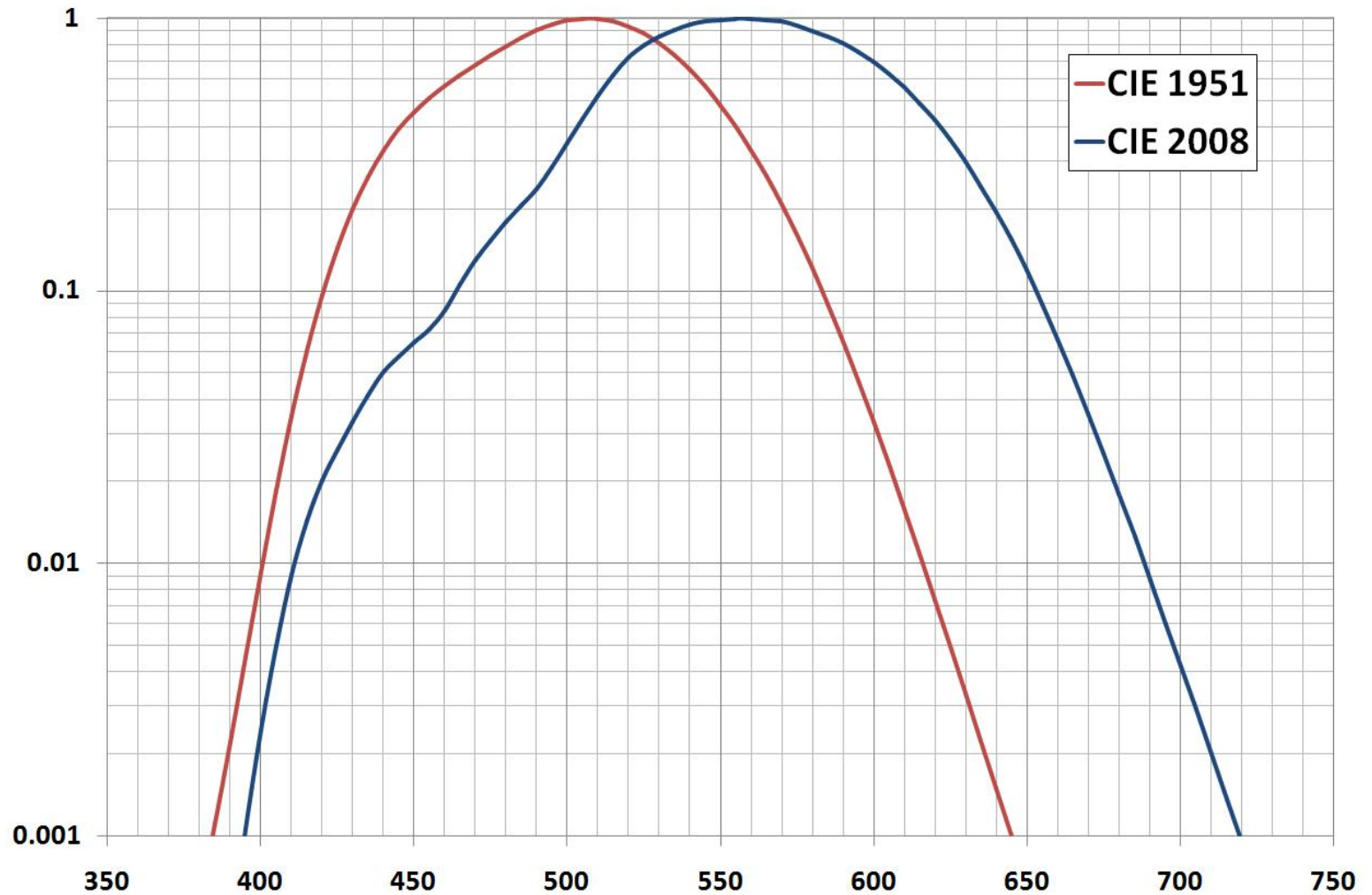
Figure 9. The scotopic and the photopic curves of spectral luminous efficacy (non-normalised values).

effect Purkinje

CIE $V(\lambda)$ fotopic



CIE $V(\lambda)$ fotopic / scotopic



Relatie radiometrie/fotometrie

- ▶ Pentru radiatii monocromatice

$$\Phi_v = 683 \frac{lm}{W} \cdot \Phi_e [W] \cdot V(\lambda) \quad [lm] \quad \Phi'_v = 1700 \frac{lm}{W} \cdot \Phi_e [W] \cdot V'(\lambda) \quad [lm]$$

- ▶ Pentru radiatii complexe:

$$\Phi_v = 683 \frac{lm}{W} \int_0^{\infty} \frac{d\Phi_e}{d\lambda} \cdot V(\lambda) d\lambda = 683 \frac{lm}{W} \int_{390nm}^{830nm} \frac{d\Phi_e}{d\lambda} \cdot V(\lambda) d\lambda \quad [lm]$$

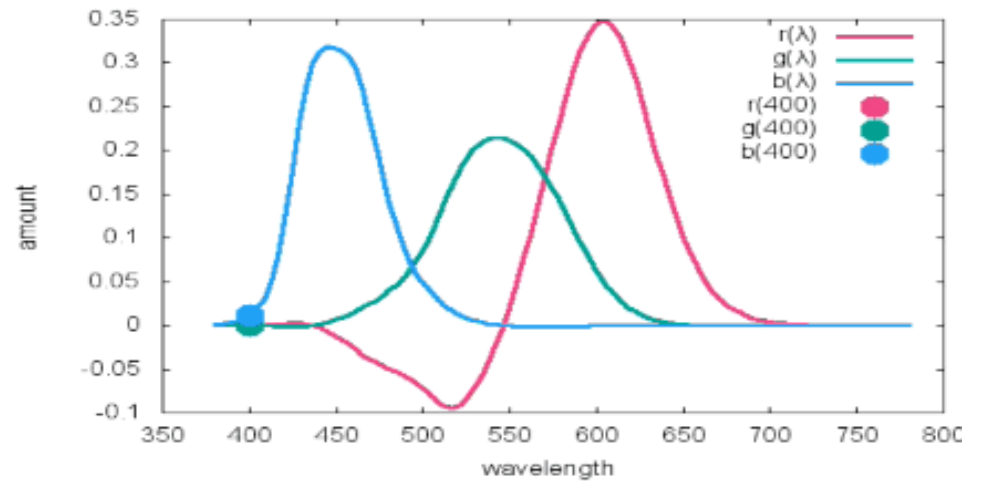
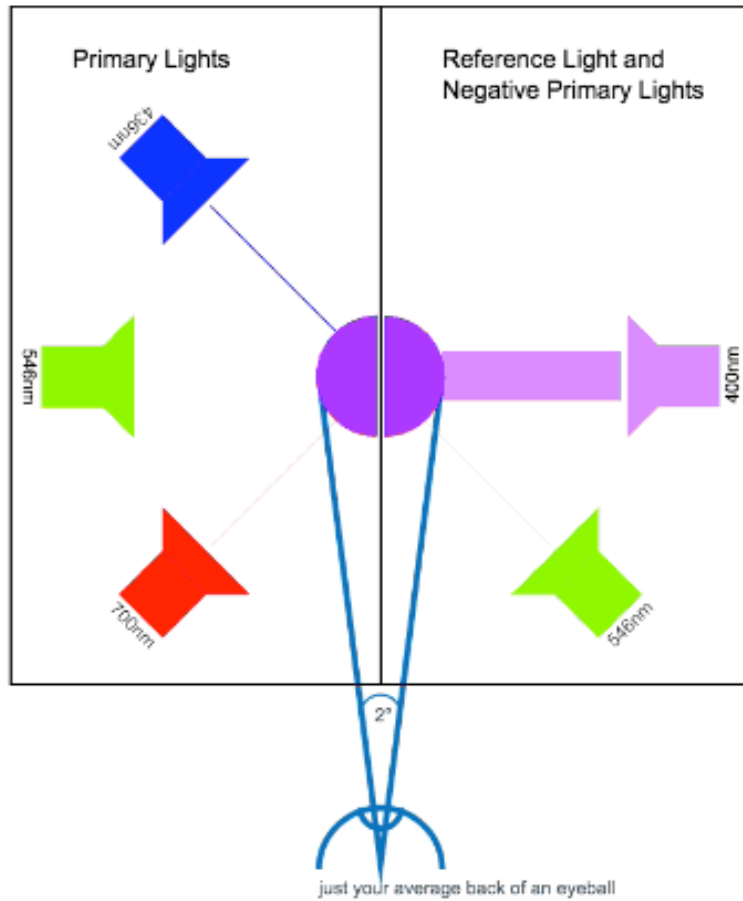
$$\Phi'_v = 1700 \frac{lm}{W} \int_0^{\infty} \frac{d\Phi_e}{d\lambda} \cdot V'(\lambda) d\lambda = 1700 \frac{lm}{W} \int_{390nm}^{830nm} \frac{d\Phi_e}{d\lambda} \cdot V'(\lambda) d\lambda \quad [lm]$$

- ▶ De cele mai multe ori, sursele sunt discrete, λ_i

$$\Phi_v = 683 \frac{lm}{W} \cdot \sum_i \Phi_e(\lambda_i) \cdot V(\lambda_i) \quad [lm]$$

$$\Phi'_v = 1700 \frac{lm}{W} \cdot \sum_i \Phi_e(\lambda_i) \cdot V'(\lambda_i) \quad [lm]$$

CIE 1931



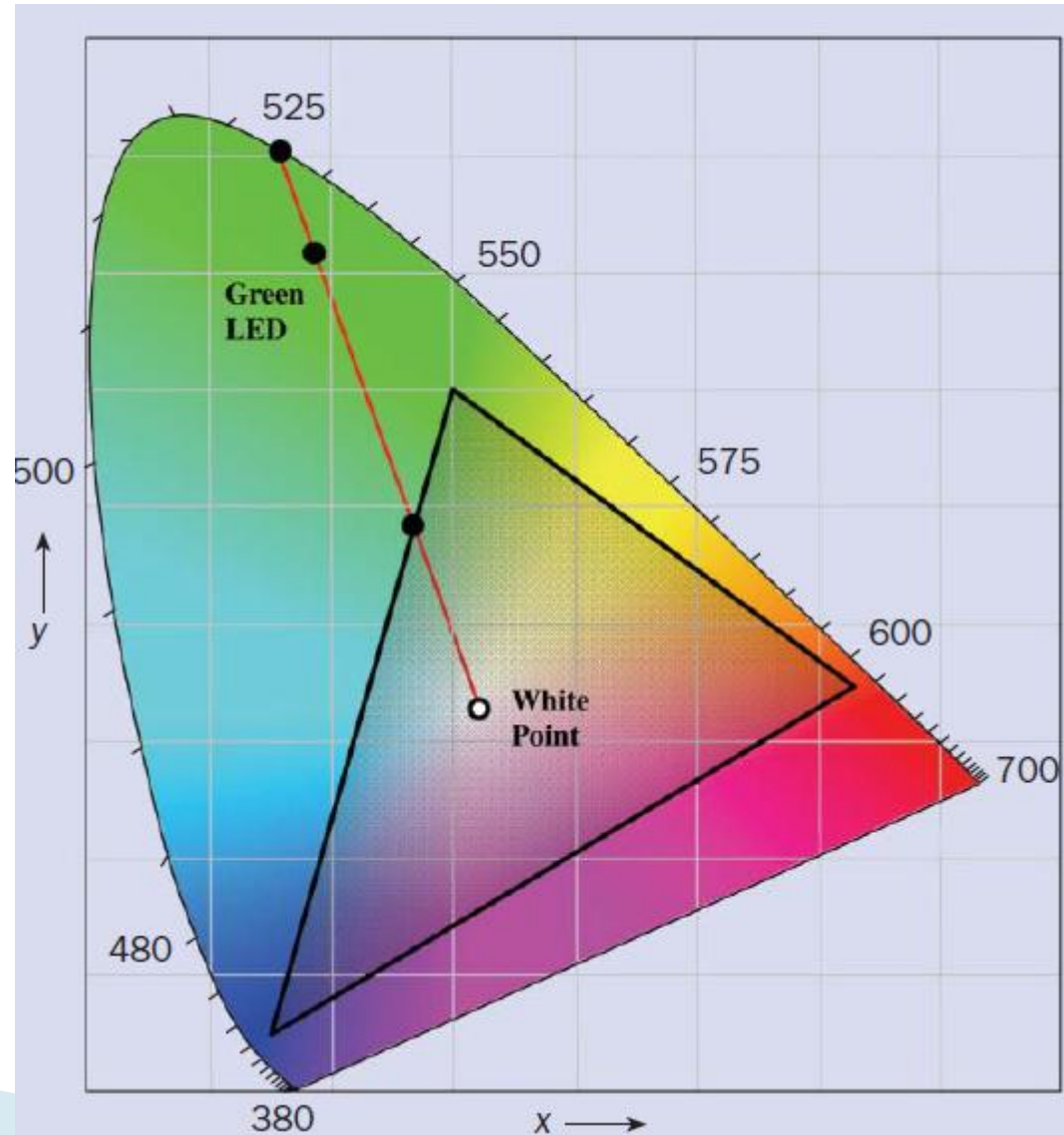
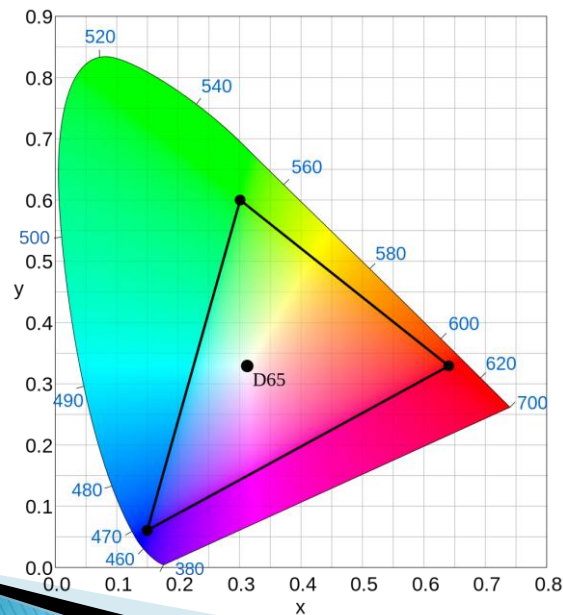
ITU-R BT.709



ITU-R BT.709 phosphor properties

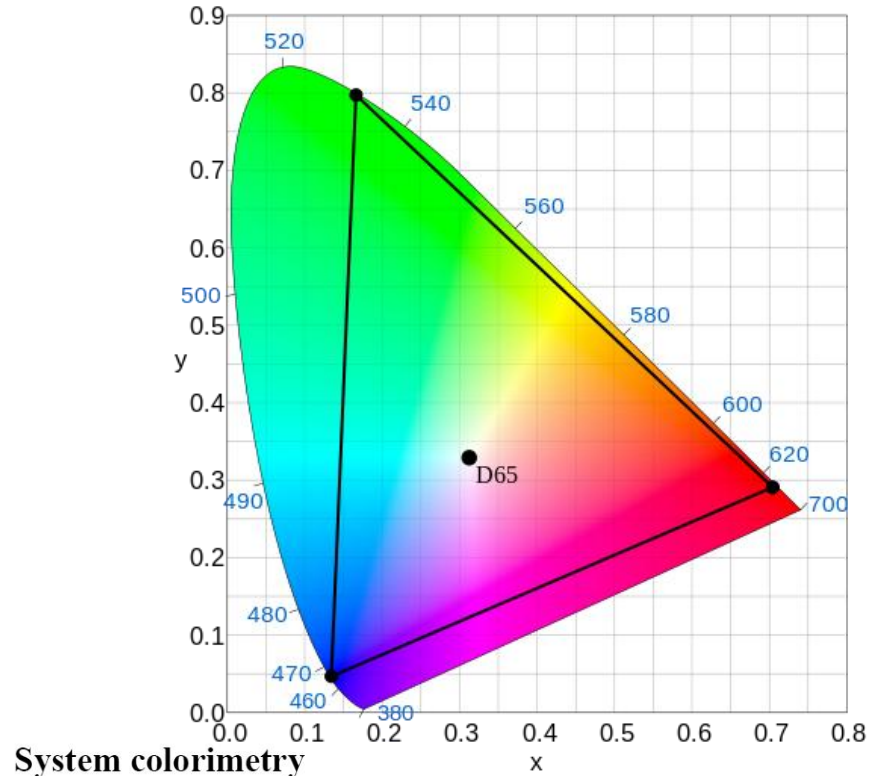
| Phosphor | x | y |
|----------|-------|-------|
| Red | 0.640 | 0.330 |
| Green | 0.300 | 0.600 |
| Blue | 0.150 | 0.060 |

Data refers to xy chromaticity co-ordinates of ITU-R BT.709 phosphors which are used in most CRT displays [1].



ITU-R BT.2020

- ▶ Parameter values for ultra-high definition television systems
- ▶ UHDTV



| Parameter | Values | | |
|---|--------------------------------------|--------|--------|
| Opto-electronic transfer characteristics before non-linear pre-correction | Assumed linear ⁽¹⁾ | | |
| Primary colours and reference white ⁽²⁾ | Chromaticity coordinates (CIE, 1931) | x | y |
| | Red primary (R) | 0.708 | 0.292 |
| | Green primary (G) | 0.170 | 0.797 |
| | Blue primary (B) | 0.131 | 0.046 |
| | Reference white (D65) | 0.3127 | 0.3290 |

⁽¹⁾ Picture information can be linearly indicated by the tristimulus values of RGB in the range of 0-1.

Temperatura de culoare

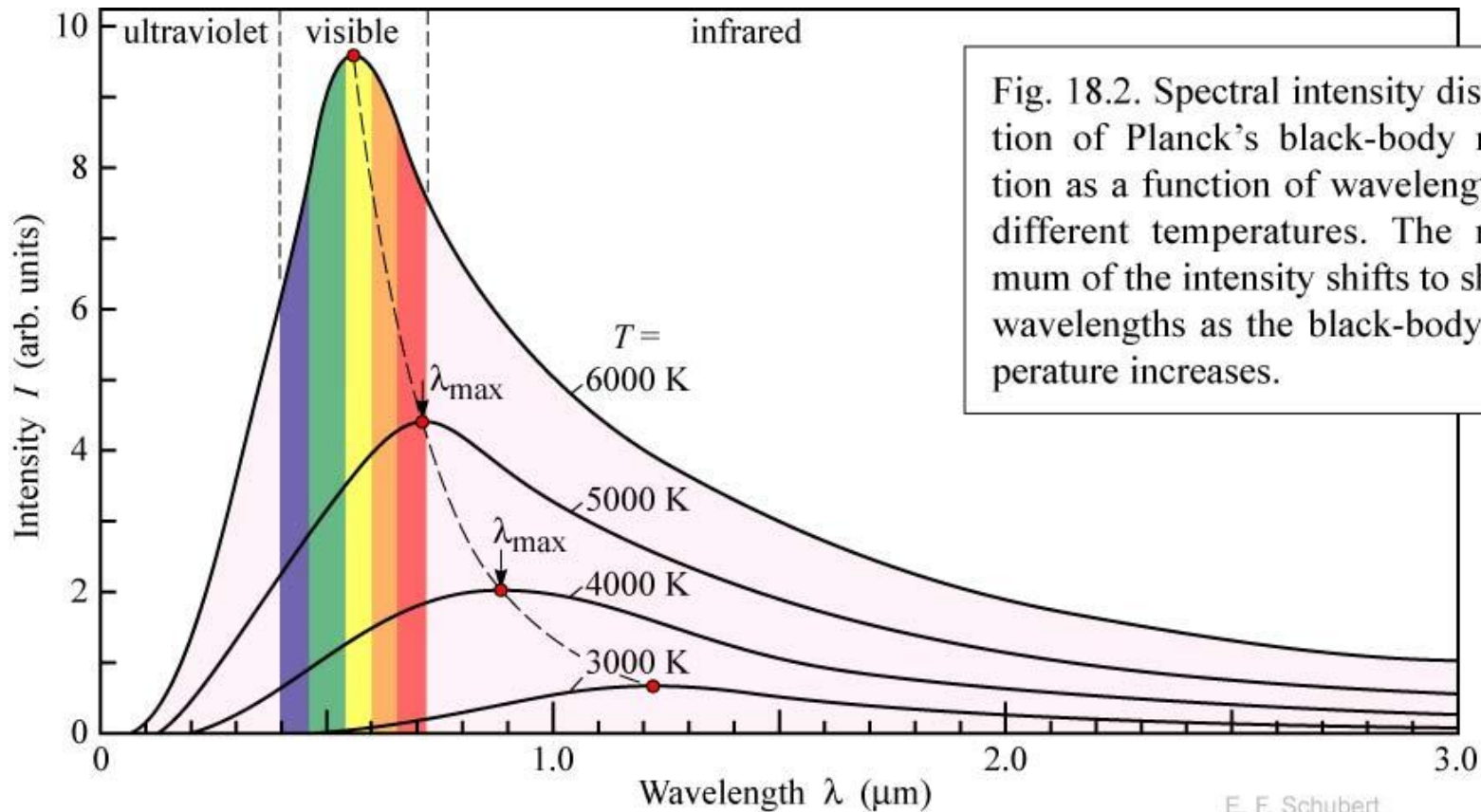
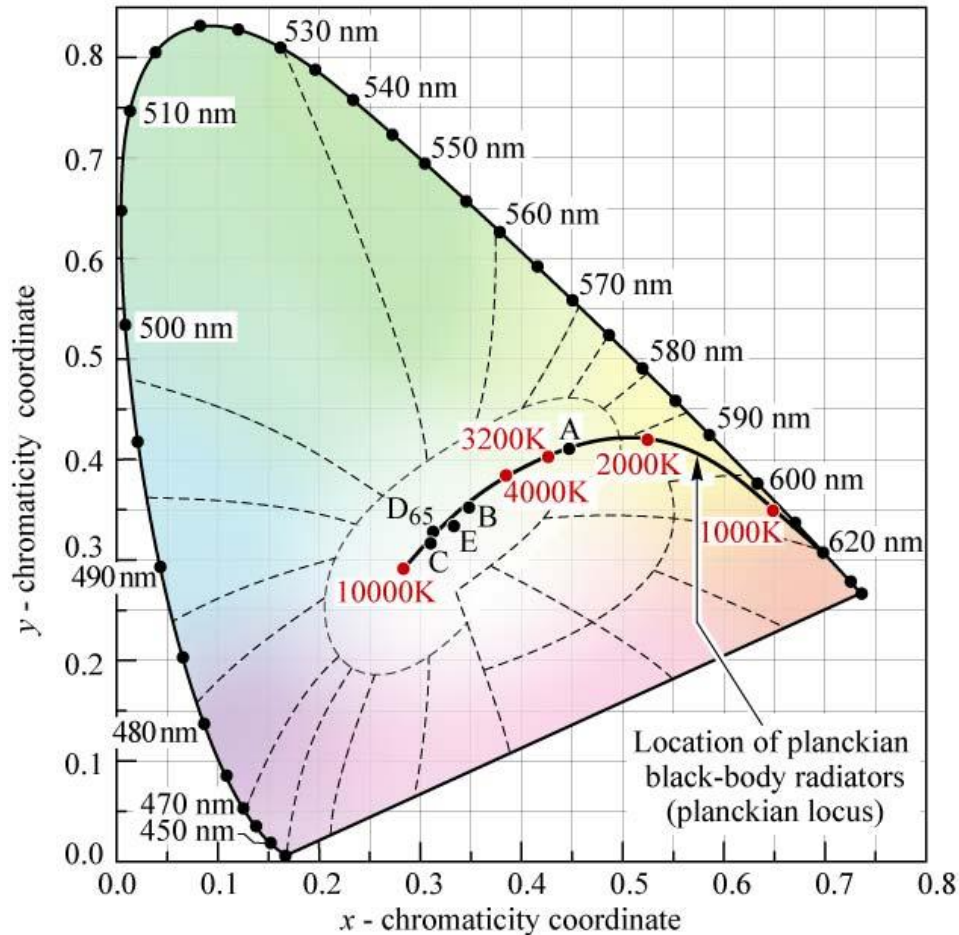


Fig. 18.2. Spectral intensity distribution of Planck's black-body radiation as a function of wavelength for different temperatures. The maximum of the intensity shifts to shorter wavelengths as the black-body temperature increases.

E. F. Schubert
Light-Emitting Diodes (Cambridge Univ. Press)
www.LightEmittingDiodes.org



Temperatura de culoare



Illuminant A
 $(x, y) = (0.4476, 0.4074)$
 (Incandescent source, $T = 2856$ K)

Illuminant B
 $(x, y) = (0.3484, 0.3516)$
 (Direct sunlight, $T = 4870$ K)

Illuminant C
 $(x, y) = (0.3101, 0.3162)$
 (Overcast source, $T = 6770$ K)

Illuminant D₆₅
 $(x, y) = (0.3128, 0.3292)$
 (Daylight, $T = 6500$ K)

Illuminant E (equal-energy point)
 $(x, y) = (0.3333, 0.3333)$

Fig. 18.3. Chromaticity diagram showing planckian locus, the standardized white Illuminants A, B, C, D₆₅, and E, and their color temperature (after CIE, 1978).

Marimi luminoase

► Intensitatea

- raportul dintre fluxul care părăsește sursa și se propagă într-un element de unghi solid ce conține direcția de propagare și elementul de unghi solid.
- o masura a puterii emise de o sursa într-un element de unghi solid

| Intensitatea | | | |
|---------------------------------|--------|---------------------------------|----------|
| Fotometrie | | Radiometrie | |
| $I_v = \frac{d\Phi_v}{d\Omega}$ | SI: cd | $I_e = \frac{d\Phi_e}{d\Omega}$ | SI: W/sr |

Marimi luminoase

► Iluminarea

- raportul dintre fluxul primit de un element de suprafață conținând punctul și aria acestui element (definita într-un punct al unei suprafețe la **receptie**):
- o masura a intensitatii luminii incidente pe o suprafata

| Iluminarea | | | |
|----------------------------|--------|----------------------------|----------------------|
| Fotometrie | | Radiometrie | |
| $E_v = \frac{d\Phi_v}{dS}$ | SI: lx | $E_e = \frac{d\Phi_e}{dS}$ | SI: W/m ² |

Marimi luminoase

▶ Excitanța

- raportul dintre fluxul care părăsește un element de suprafață conținând punctul și aria elementului de suprafață (definita într-un punct al unei suprafețe la emisie):
- o masura a intensitatii luminii emise de o suprafata

| Excitanța | | | |
|----------------------------|-----------------------|----------------------------|----------------------|
| Fotometrie | | Radiometrie | |
| $M_v = \frac{d\Phi_v}{dS}$ | SI: lm/m ² | $M_e = \frac{d\Phi_e}{dS}$ | SI: W/m ² |

Marimi luminoase

▶ Luminanța

- raportul dintre fluxul care părăsește, atinge sau traversează un element de suprafață și care se propagă în direcții conținute într-un con elementar, $d\Omega$, conținând direcția dată, și produsul dintre unghiul solid al conului și aria proiecției ortogonale a elementului de suprafață pe un plan perpendicular pe direcția dată, dS (definita într-o direcție, într-un punct de pe suprafața unei surse sau unui receptor, sau într-un punct pe traiectul unui fascicol):
- o masura a densitatii de intensitate luminoasa într-o anumita directie

| Luminanța | | | |
|--|-----------------------|--|--------------------------|
| Fotometrie | | Radiometrie | |
| $L_v = \frac{d^2\Phi_v}{d\Omega \cdot dS}$ | SI: cd/m ² | $L_e = \frac{d^2\Phi_e}{d\Omega \cdot dS}$ | SI: W/m ² /sr |

Marimi luminoase

- ▶ Standardele pentru surse luminoase (de ex. semne de circulatie), iluminarea spatiilor de lucru/odihna
 - sunt concepute cu marimi luminoase
 - lm, cd, lx, cd/m² etc.
- ▶ de multe ori se adapteaza relatiile pentru surse mai simple:

$$I_v = \frac{d\Phi_v}{d\Omega} \rightarrow I_v = \frac{\Phi_v}{\Omega} \Big|_{I_v \approx ct. in \Omega} \qquad E_v = \frac{d\Phi_v}{dS} \rightarrow E_v = \frac{\Phi_v}{S} \Big|_{\Phi_v \approx ct. pe S}$$

$$\Phi_v = 683 \frac{lm}{W} \int_{390nm}^{830nm} \frac{d\Phi_e}{d\lambda} \cdot V(\lambda) d\lambda \rightarrow \Phi_v = 683 \frac{lm}{W} \cdot \sum_i \Phi_e(\lambda_i) \cdot V(\lambda_i)$$

Continuare

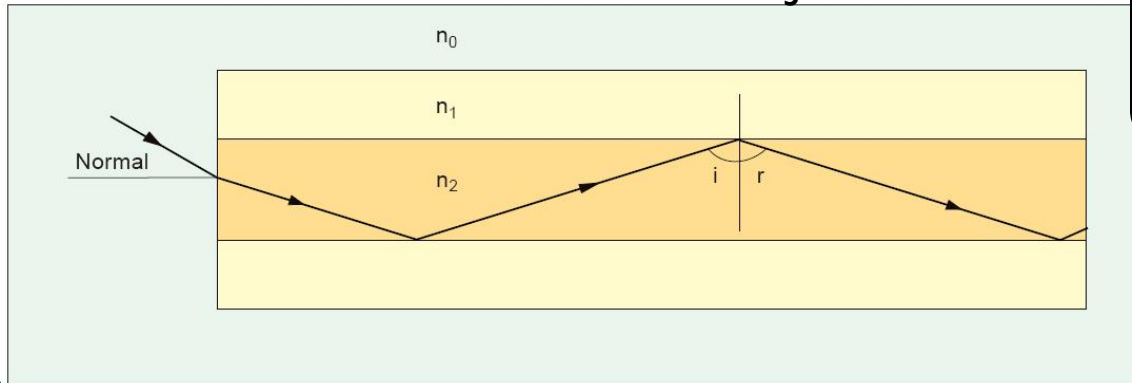
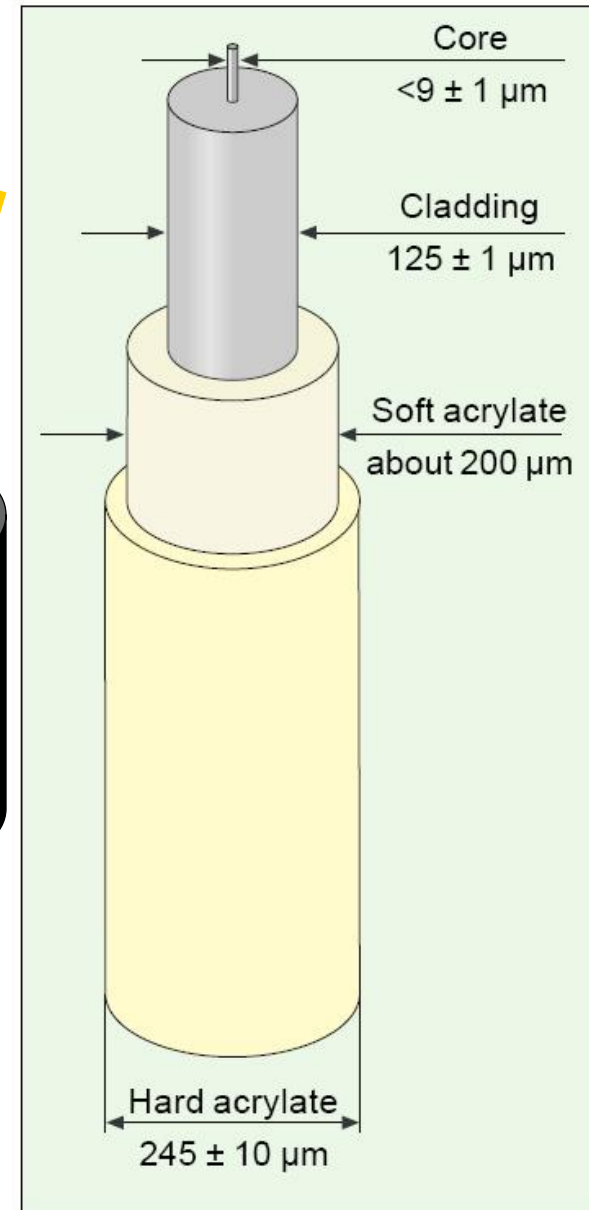
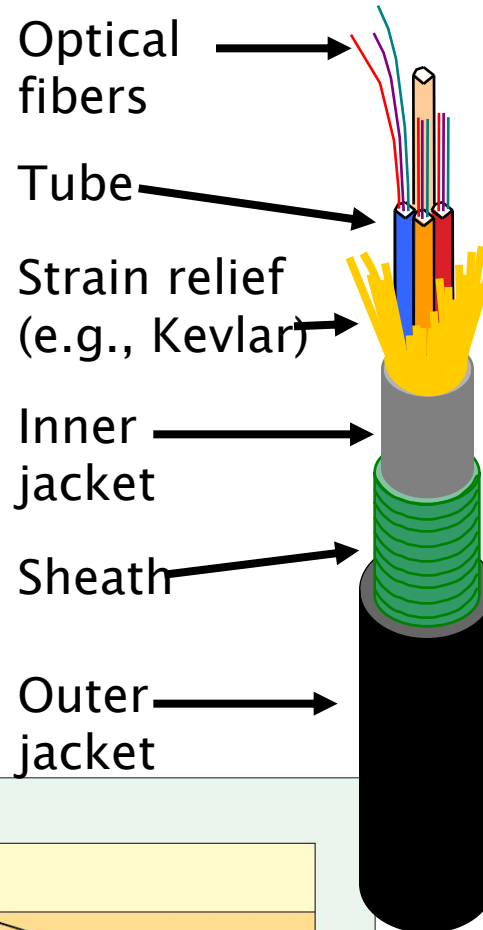


Fibra optică

Capitolul 4

Fibra optica

- ▶ un ghid de unda dielectric
 - miez
 - teaca



Unghi de acceptanta, apertura numerica

- ▶ Unghi de acceptanta

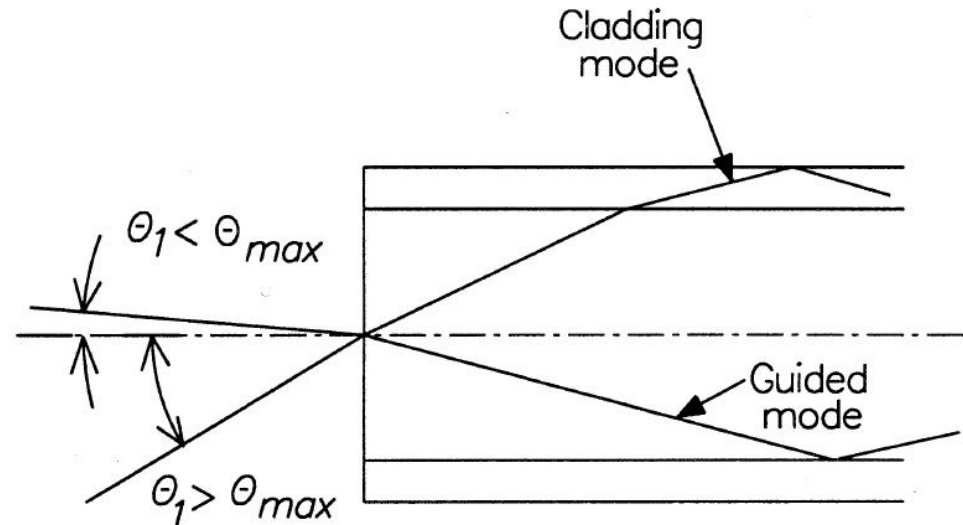
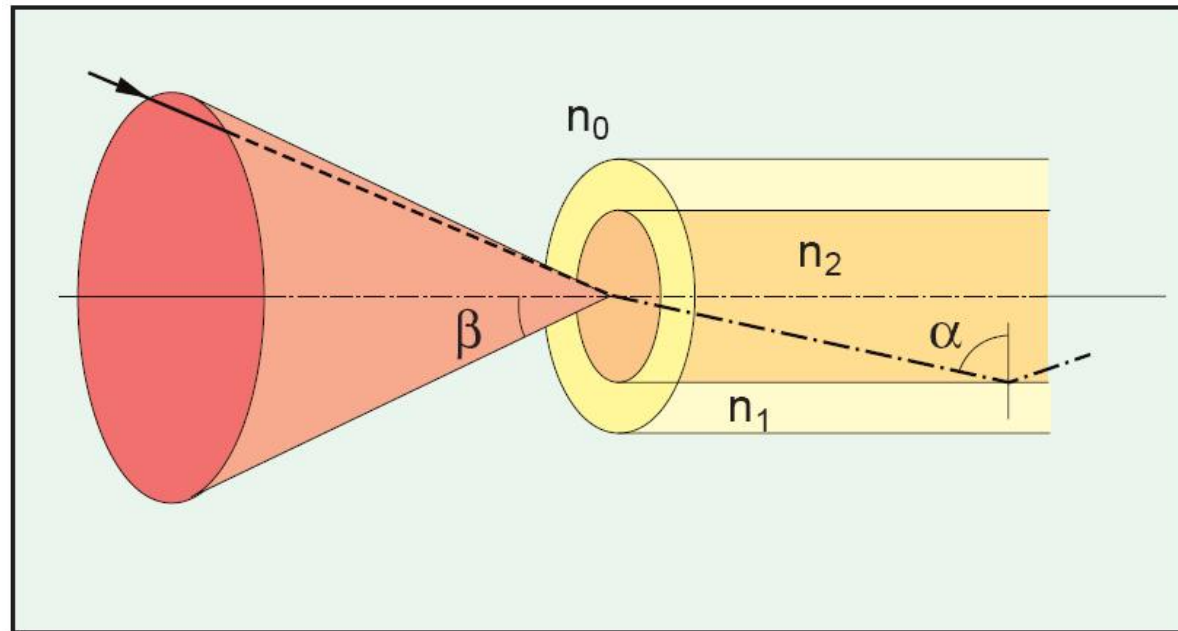
$$n_0 \cdot \sin \theta_{ACC} = n_2 \cdot \sin \phi_c$$

- ▶ **Apertura numerica**

$$NA = n_0 \cdot \sin \theta_{ACC}$$

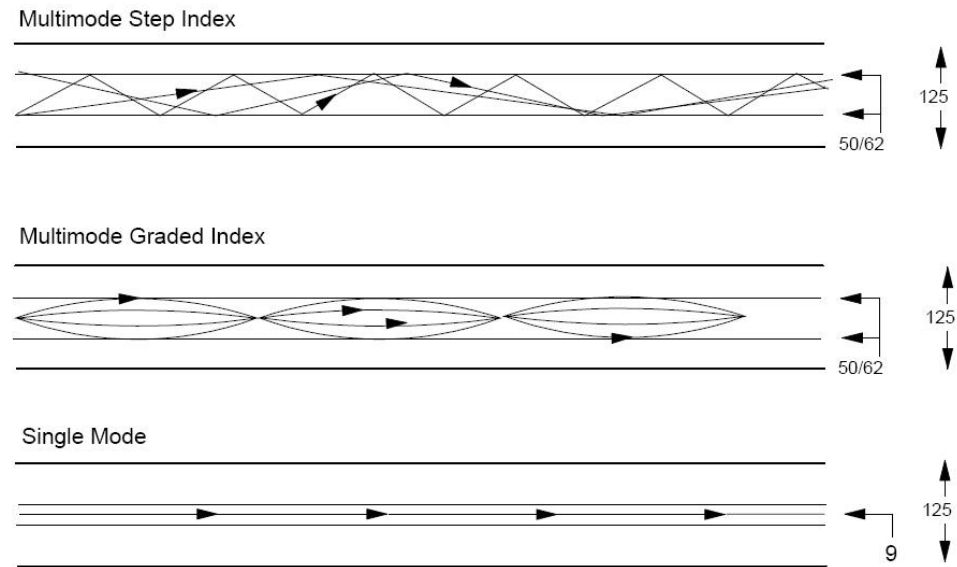
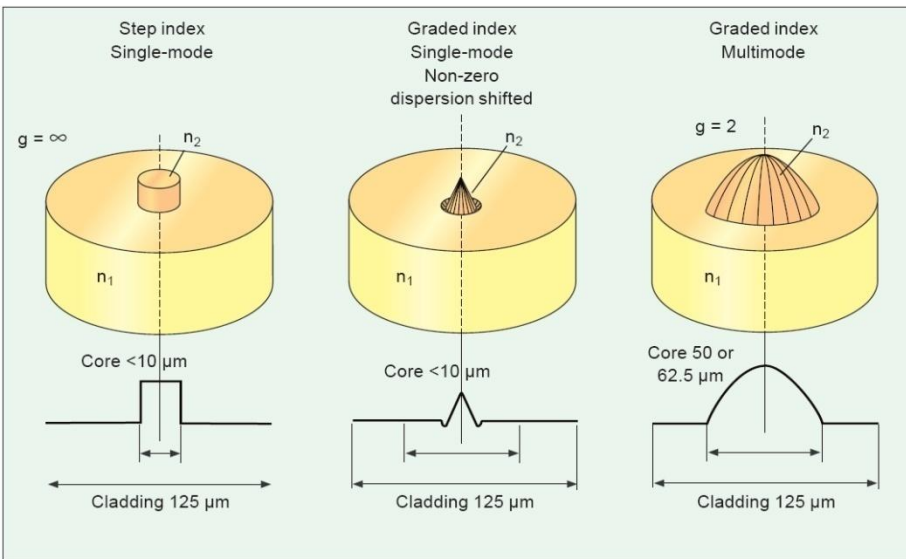
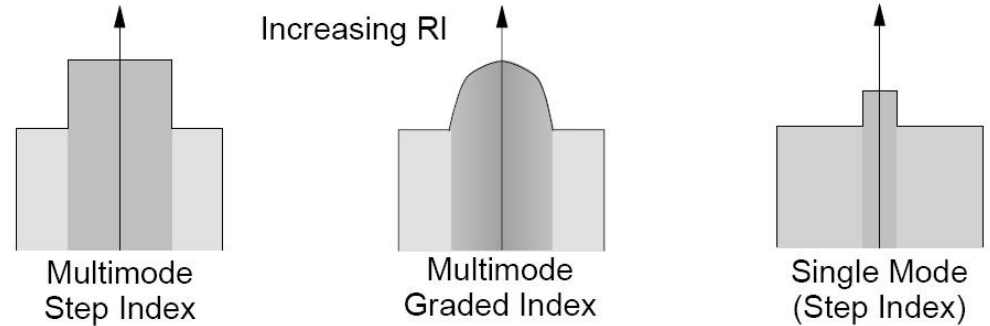
$$NA = n_2 \sqrt{\frac{n_2^2 - n_1^2}{n_2^2}} = \sqrt{n_2^2 - n_1^2}$$

n_2 - miez
 n_1 - teaca
 $n_2 > n_1$!!

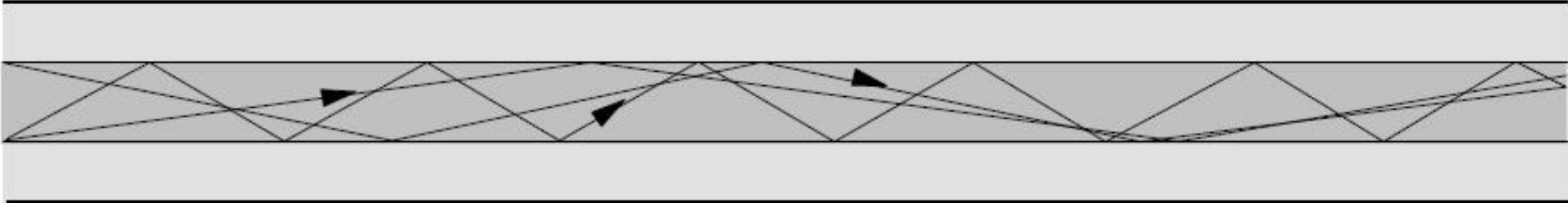


Tipuri de fibra

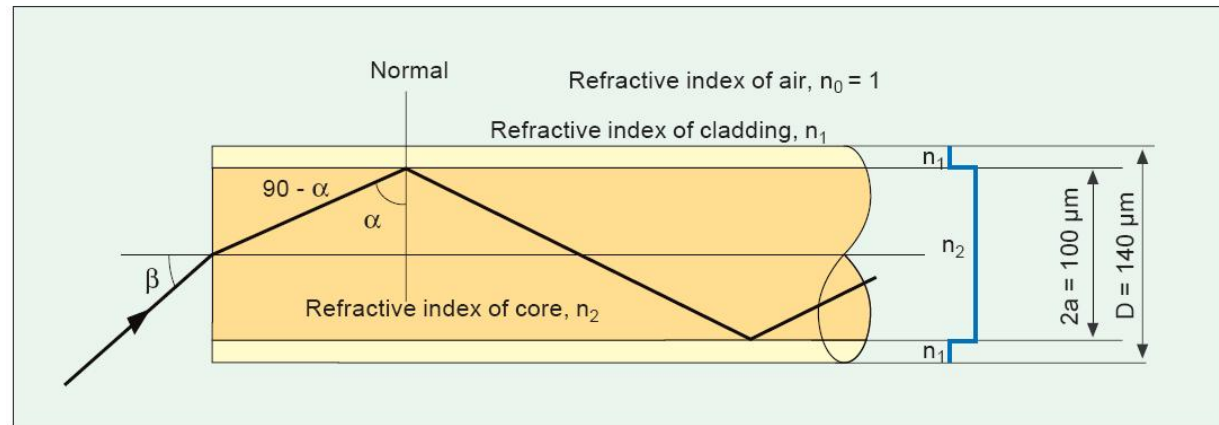
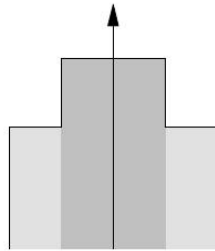
- ▶ Monomod
- ▶ Multimod
 - cu salt de indice
 - cu indice gradat



Fibre multimod cu salt de indice

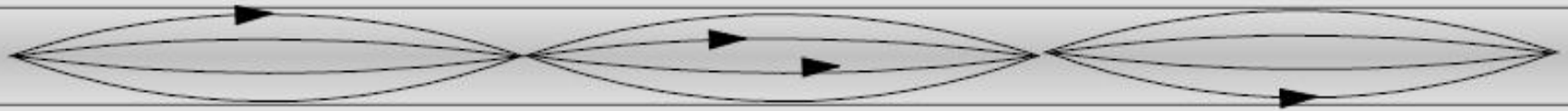


- ▶ 50/125 sau 62.5/125 (μm)
- ▶ 15–50 MHz · km

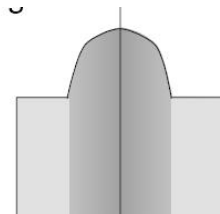
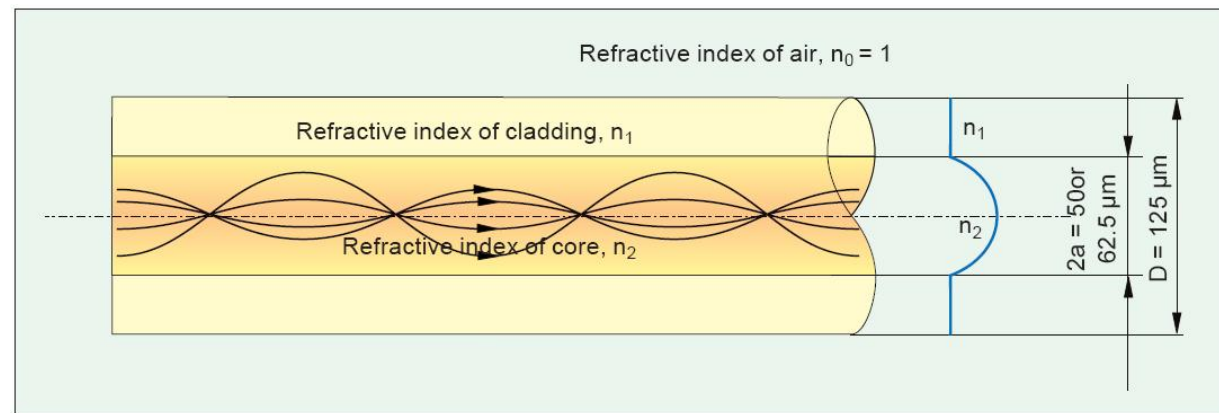


| | glass | plastic |
|---------------------------------|-------------------|--------------------|
| core diameter $2a$ | 100 μm | 980 μm |
| cladding diameter D | 140 μm | 1000 μm |
| core refractive index n_2 | 1.48 | |
| cladding refractive index n_1 | 1.45 | |

Fibre multimod cu indice gradat

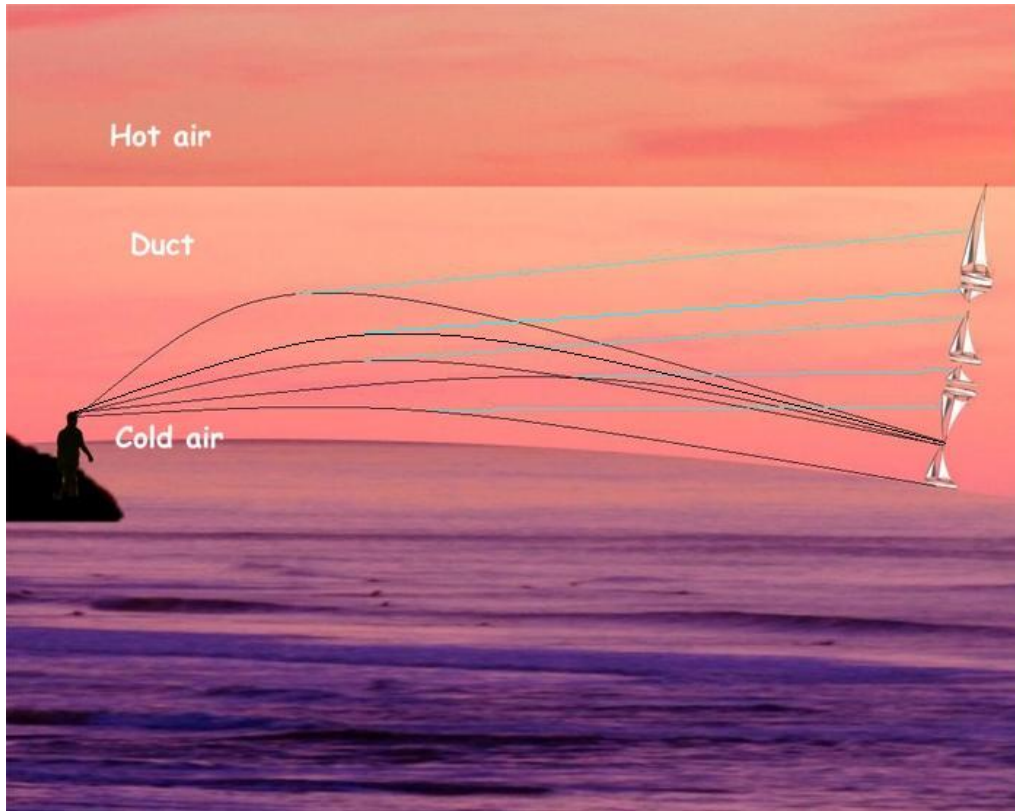


- ▶ 50/125 sau 62.5/125 (μm)
- ▶ 700–1200 MHz · km



| | |
|--|--------------------------|
| Core diameter $2a$ | 50 or 62.5 μm |
| Cladding diameter D | 125 μm |
| Maximum refractive index, core | 1.46 |
| Relative differential refractive index | 0.010 |

Fata Morgana



Fibre multimod cu indice gradat

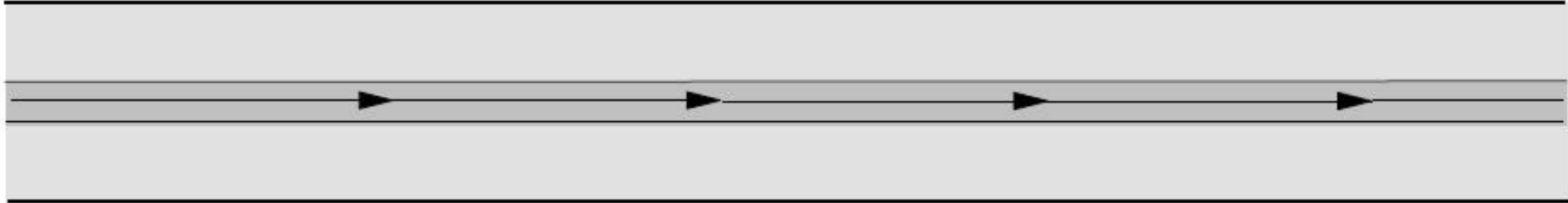


$$n(r) = n_2 \left[1 - \Delta \left(\frac{r}{a} \right)^g \right]$$

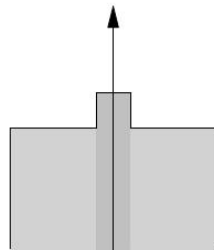
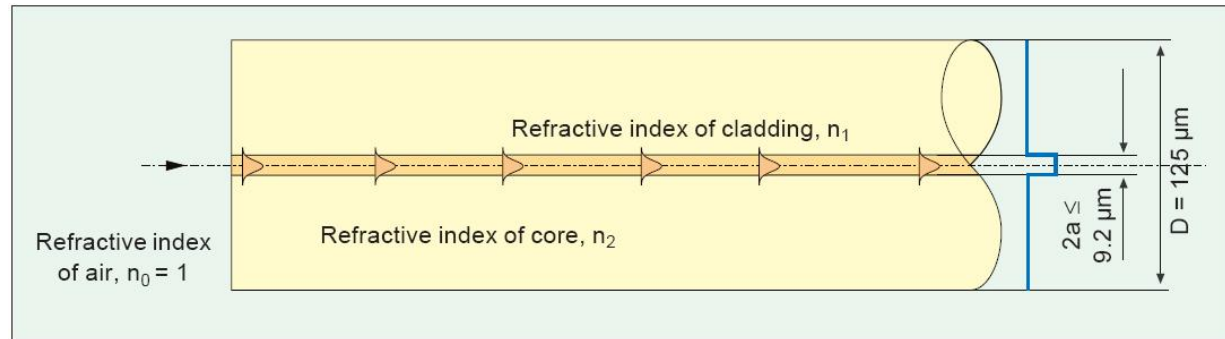
$$\Delta = \frac{NA^2}{2n_2^2} = \frac{n_2^2 - n_1^2}{2n_2^2} \approx \frac{n_2 - n_1}{n_2} \approx \frac{\Delta n}{n} \quad \text{for } \Delta \ll 1$$

- ▶ $g = 1$ - indice gradat triunghiular
- ▶ $g = 2$ - indice gradat parabolic
- ▶ $g = \infty$ - salt de indice

Fibre monomod



- ▶ 6–8/125 (μm)
- ▶ MHz · km
nerelevant
- ▶ MFD – Mode
Field Diameter



| | |
|---------------------------------|-------------------|
| Cladding diameter D | 125 μm |
| Core refractive index n_2 | 1.4485 |
| Cladding refractive index n_1 | 1.4440 |
| Refractive index differential | 0.003 = 0.3% |

Ghid cilindric dielectric

► Ecuatiile lui Maxwell in coordonate cilindrice

$$\frac{\partial^2 U}{\partial r^2} + \frac{1}{r} \frac{\partial U}{\partial r} + \frac{1}{r^2} \frac{\partial^2 U}{\partial \phi^2} + \frac{\partial^2 U}{\partial z^2} + n^2 k_o^2 U = 0$$

a – raza miezului
U – E(r) sau H(r)

$$U(r, \phi, z) = u(r) e^{-jl\phi} e^{-j\beta z}, \quad l = 0, \pm 1, \pm 2, \dots$$

$$\frac{d^2 u}{dr^2} + \frac{1}{r} \frac{du}{dr} + \left(n^2(r) k_o^2 - \beta^2 - \frac{l^2}{r^2} \right) u = 0$$

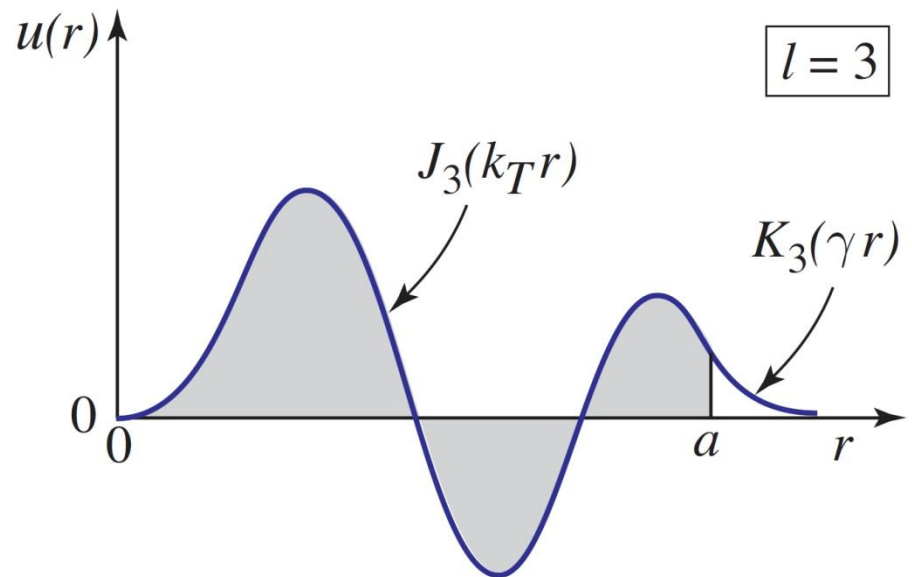
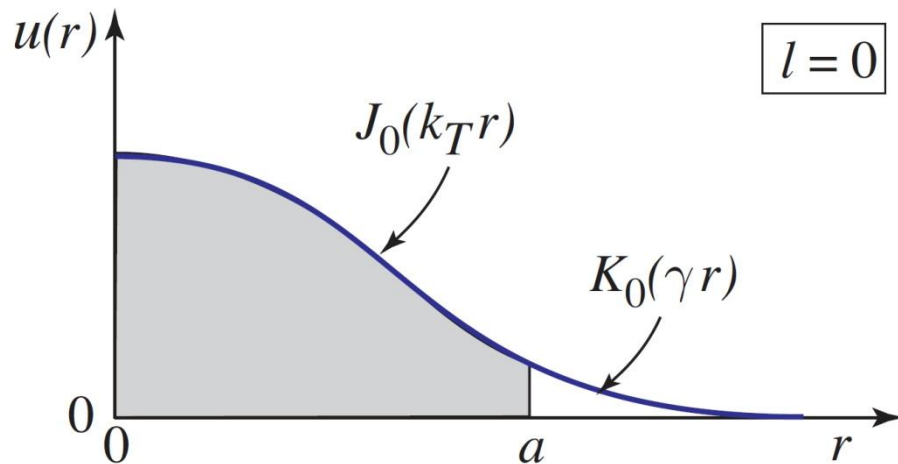
$$\frac{d^2 u}{dr^2} + \frac{1}{r} \frac{du}{dr} + \left(k_T^2 - \frac{l^2}{r^2} \right) u = 0, \quad r < a$$

$$\frac{d^2 u}{dr^2} + \frac{1}{r} \frac{du}{dr} - \left(\gamma^2 + \frac{l^2}{r^2} \right) u = 0, \quad r > a$$

Ghid cilindric dielectric

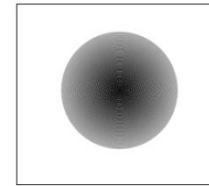
- ▶ solutii proportionale cu functii Bessel

$$u(r) \propto \begin{cases} J_l(k_T r), & r < a \quad (\text{core}) \\ K_l(\gamma r), & r > a \quad (\text{cladding}) \end{cases}$$

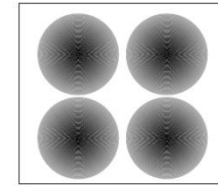


Moduri in fibra

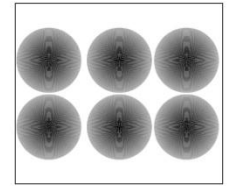
- ▶ Moduri in ghid rectangular



TEM₀₀

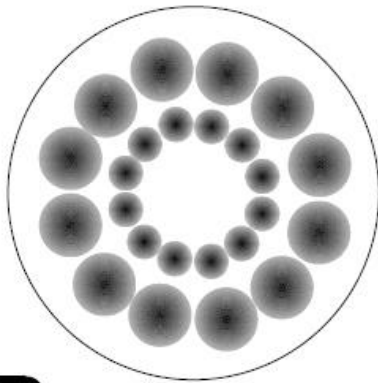


TEM₁₁

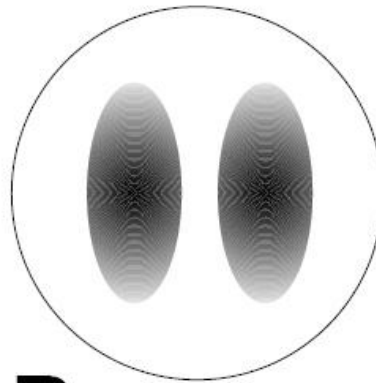


TEM₂₁

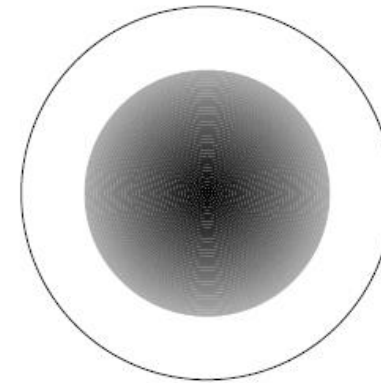
- ▶ Moduri linear polarizate in fibra



LP₆₂

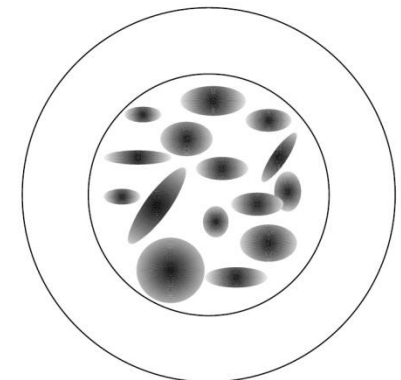


LP₁₁



LP₀₁

“Sparkle” pattern



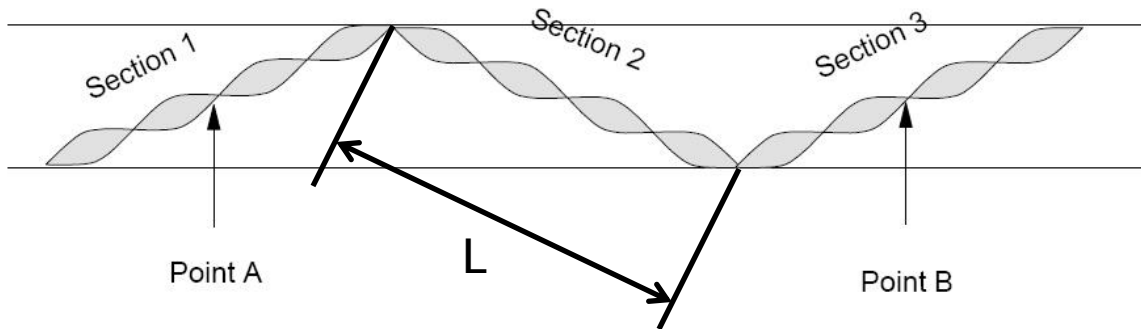
Frecventa normalizata

► Frecventa normalizata

$$V = 2\pi \frac{a}{\lambda} NA = k \cdot a \cdot NA \quad a - \text{raza miezului}$$

$$k = \frac{2\pi}{\lambda}$$

► Numar de moduri

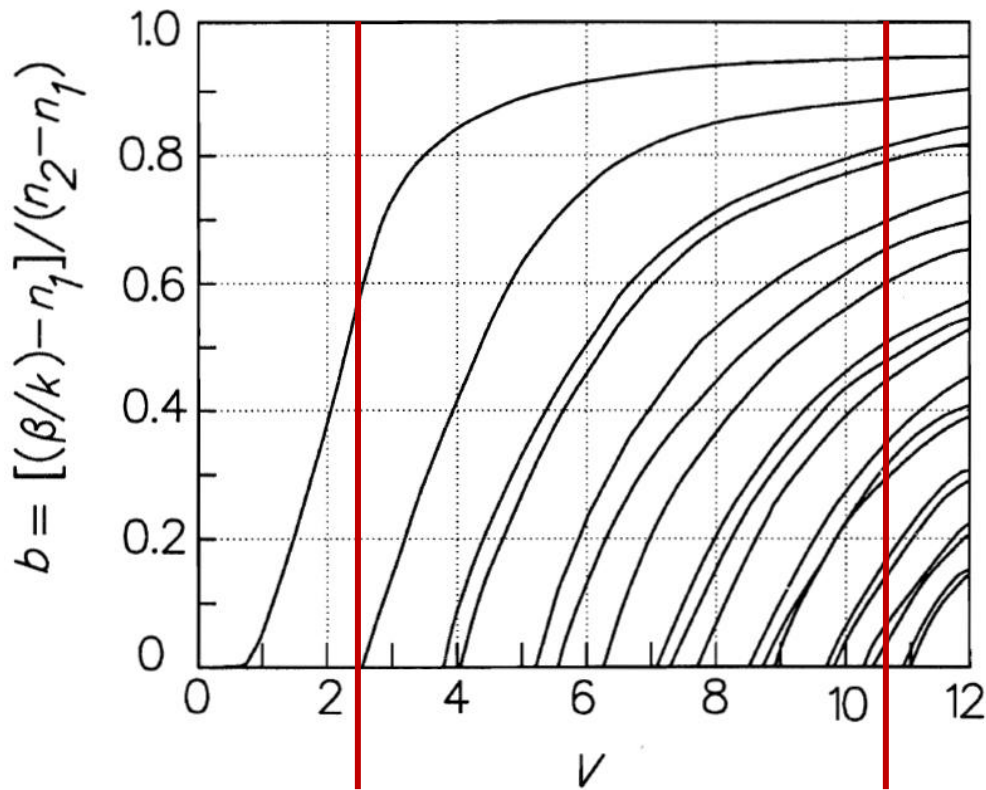


$$L = m \cdot \lambda$$

$$N \approx \frac{V^2}{2} \cdot \frac{g}{g+2}$$

Frecventa normalizata – monomod

► Fibre monomod



b – coeficient de propagare modal relativ

$$V \leq V_C = 2.405$$

exista un **singur** mod (solutii fc. Bessel)

$$\lambda \geq \lambda_C = \pi \frac{2a}{V_C} NA = \pi \frac{2a}{2.405} NA$$

Exemplu:

$$2a = 8.5 \mu\text{m}$$

$$NA = 0.11$$

$$\lambda_C = \pi \frac{8.5}{2.405} 0.11 = 1210 \text{nm}$$

Frecventa normalizata

- ▶ Numar de moduri
 - Multimod cu salt de indice

$$g = \infty \Rightarrow N \approx \frac{V^2}{2}$$

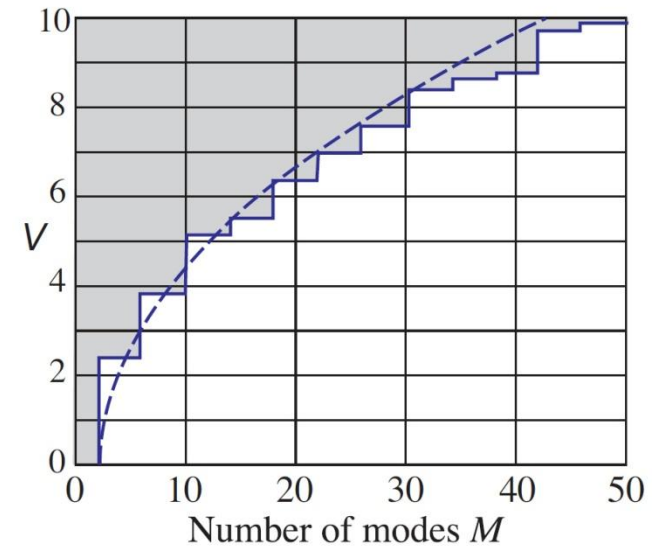
- Multimod cu indice gradat

$$g = 2 \Rightarrow N \approx \frac{V^2}{4}$$

- Monomod

$V \leq V_c = 2.405$ exista un singur mod (solutii fc. Bessel)

$$N \approx \frac{V^2}{2} \cdot \frac{g}{g+2}$$



Exemplu

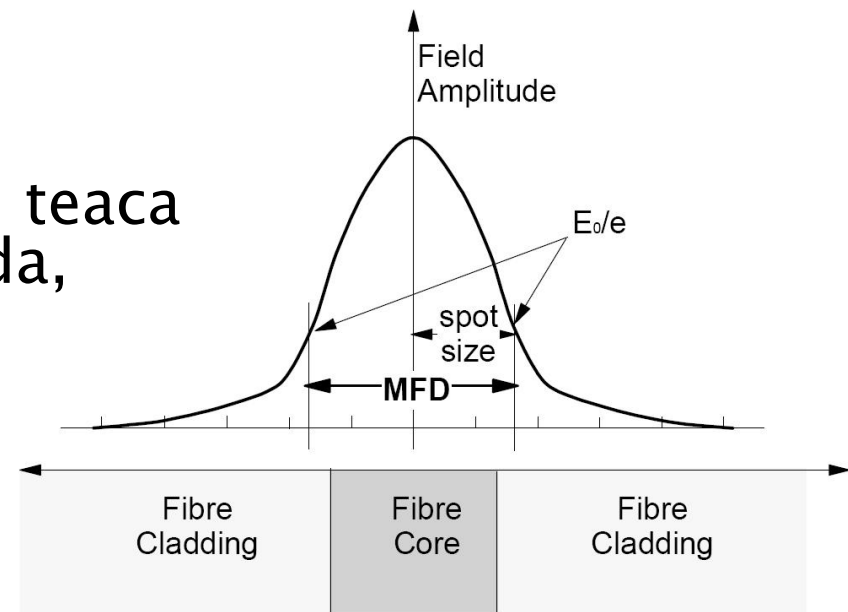
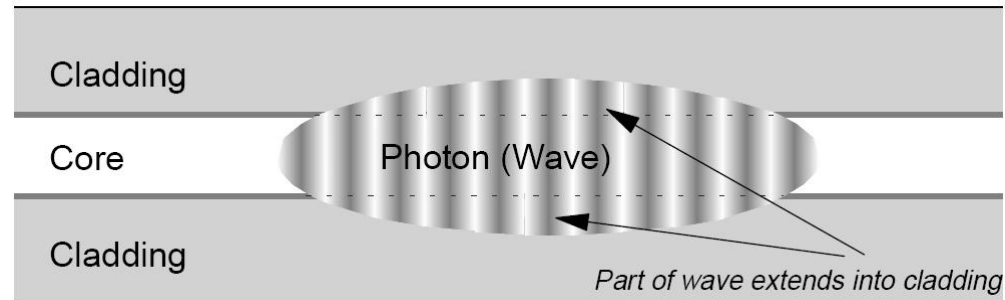
- ▶ fibra tipica multimod
 - $g=2$
 - $2a = 50\mu\text{m} \rightarrow a = 25\mu\text{m}$
 - $NA = 0.2$ la $\lambda = 1\mu\text{m}$

$$V = 2\pi \frac{a}{\lambda} NA = 2\pi \frac{25}{1} 0.2 = 2 \cdot \pi \cdot 5 \approx 31.4$$

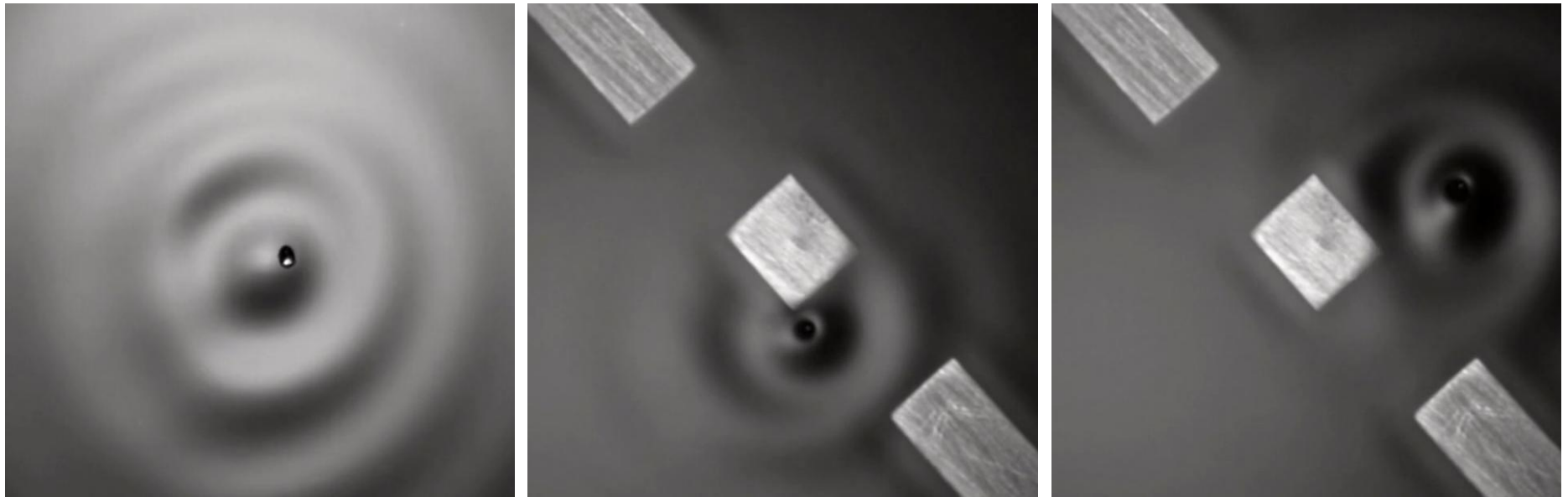
$$g = 2 \Rightarrow N = \frac{V^2}{4} = \frac{31.4^2}{4} = 247$$

Propagarea in fibra monomod

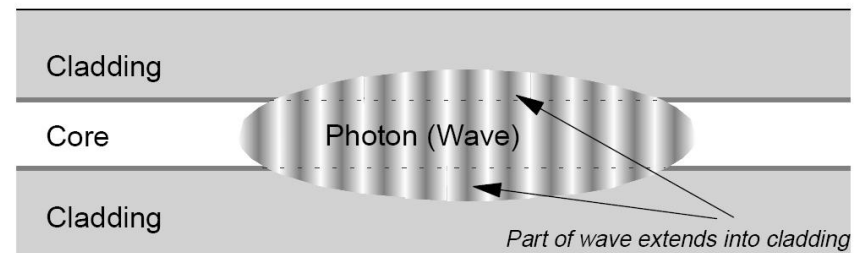
- ▶ Propagarea luminii poate fi explicata doar prin teoria electromagnetica
- ▶ Energia campului se extinde in teaca (diametrul efectiv al spotului luminos – MFD, Mode Field Diameter)
- ▶ $MFD > 2a$
- ▶ Adancimea de patrundere in teaca depinde de lungimea de unda, generand dispersia de ghid



Modelare



Through the Wormhole
S02E07 How Does the Universe Work



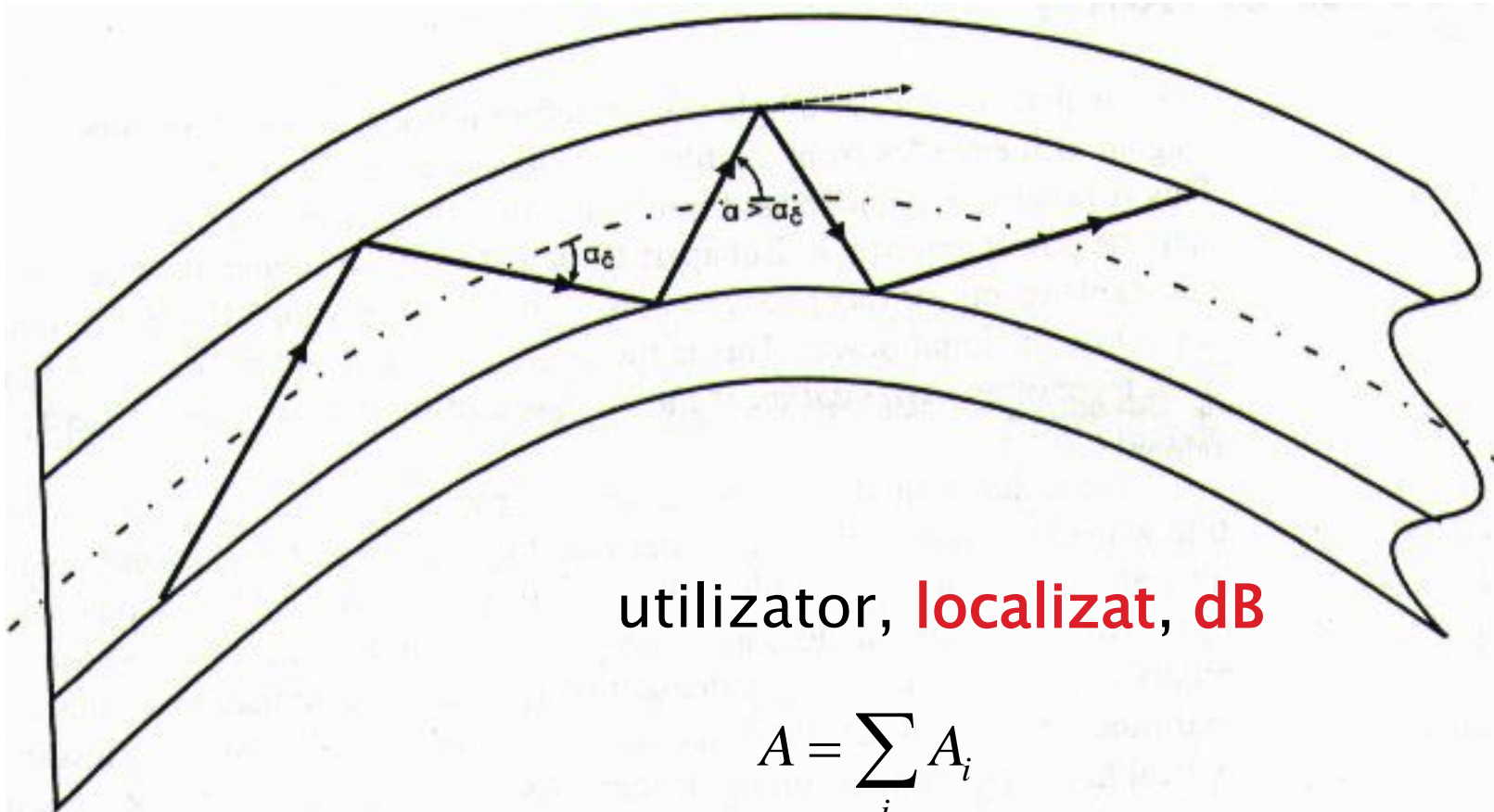
Fenomene de interes

- ▶ Cat de departe pot transmite semnalul luminos pe fibra
 - **atenuare**
- ▶ Cat de rapid pot transmite informația
 - dispersie

Atenuare

- ▶ Macrocurburi
 - utilizator, **localizat**, dB
- ▶ Discontinuitate in fibra
 - utilizator, **localizat**, dB
- ▶ Microcurburi
 - **distribuit**, tehnologie, dB/km
- ▶ Imprastiere
 - **distribuit**, tehnologie, dB/km
- ▶ Absorbție
 - **distribuit**, material, dB/km

Macrocurburi

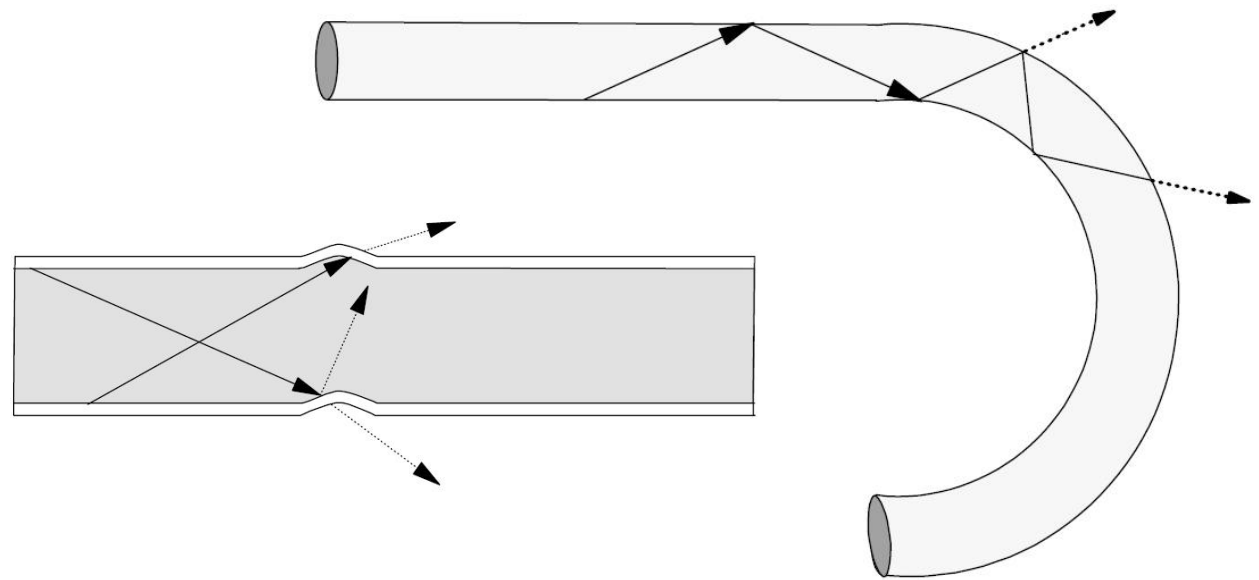


$$A = \sum_i A_i$$

$$A = N \cdot A_i$$

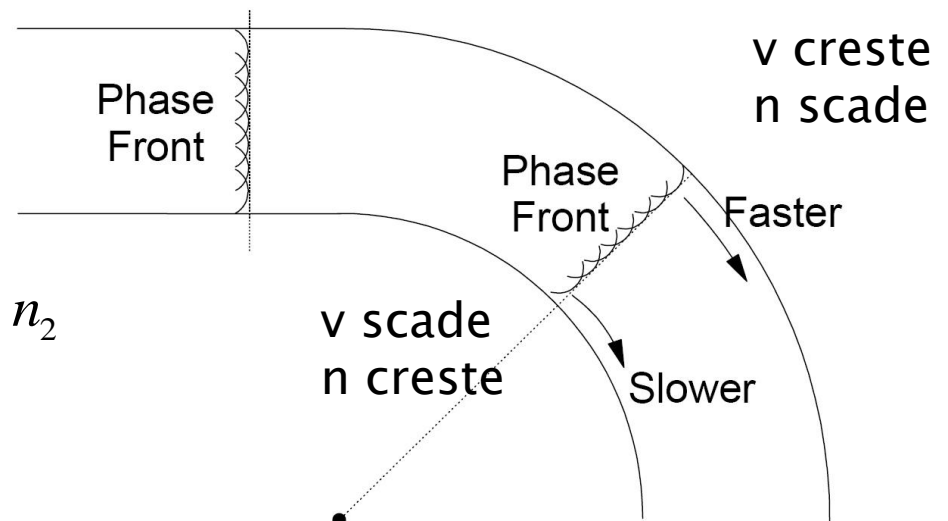
Efectul curburilor

▶ Multimod



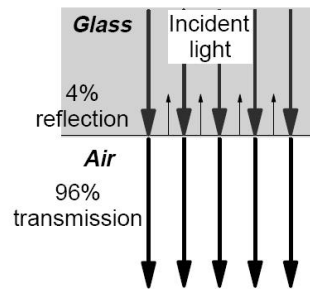
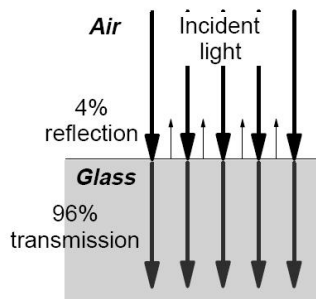
▶ Monomod

$$R > R_C \Rightarrow n_{1,ext} > n_2$$



Discontinuitate in fibra

- ▶ Apare cand nu putem considera fibra un singur ghid dielectric
 - defectiuni
 - conectori

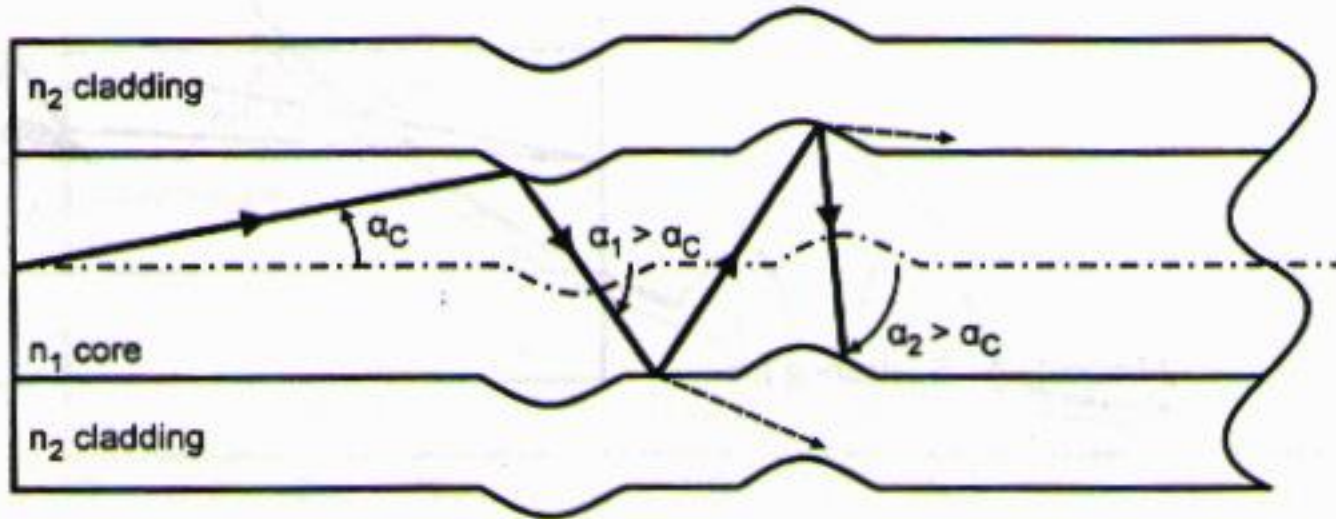


utilizator, **localizat**, dB

$$A = \sum_i A_i$$

$$A = N \cdot A_i$$

Microcurburi

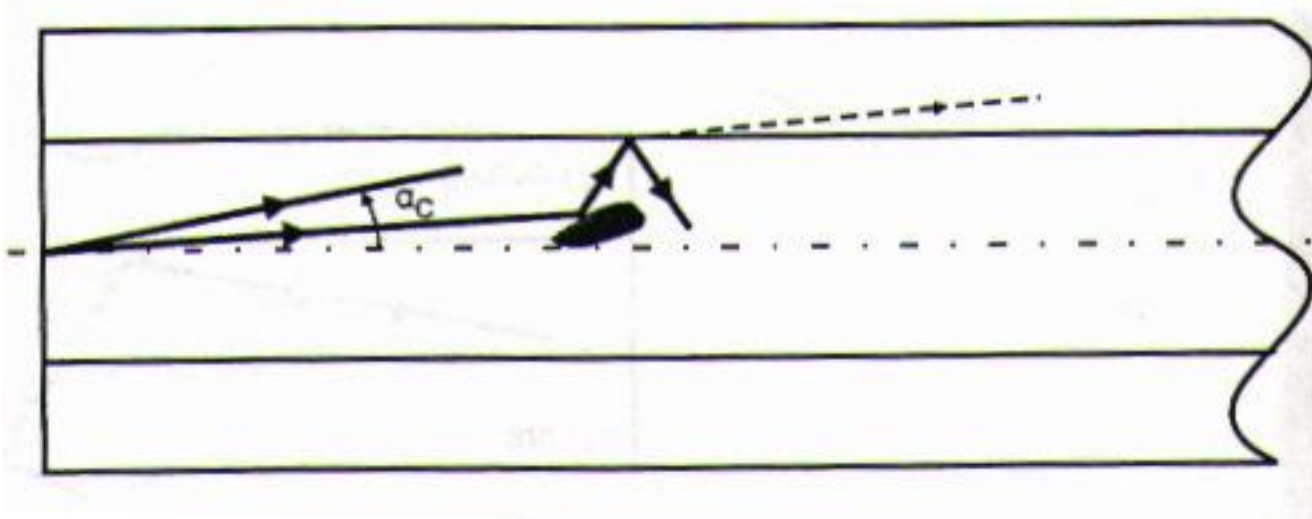


distribuit, tehnologie, **dB/km**

$$A = A_i \cdot L$$

$$A[dB] = A_i[dB/km] \cdot L[km]$$

Imprastiere

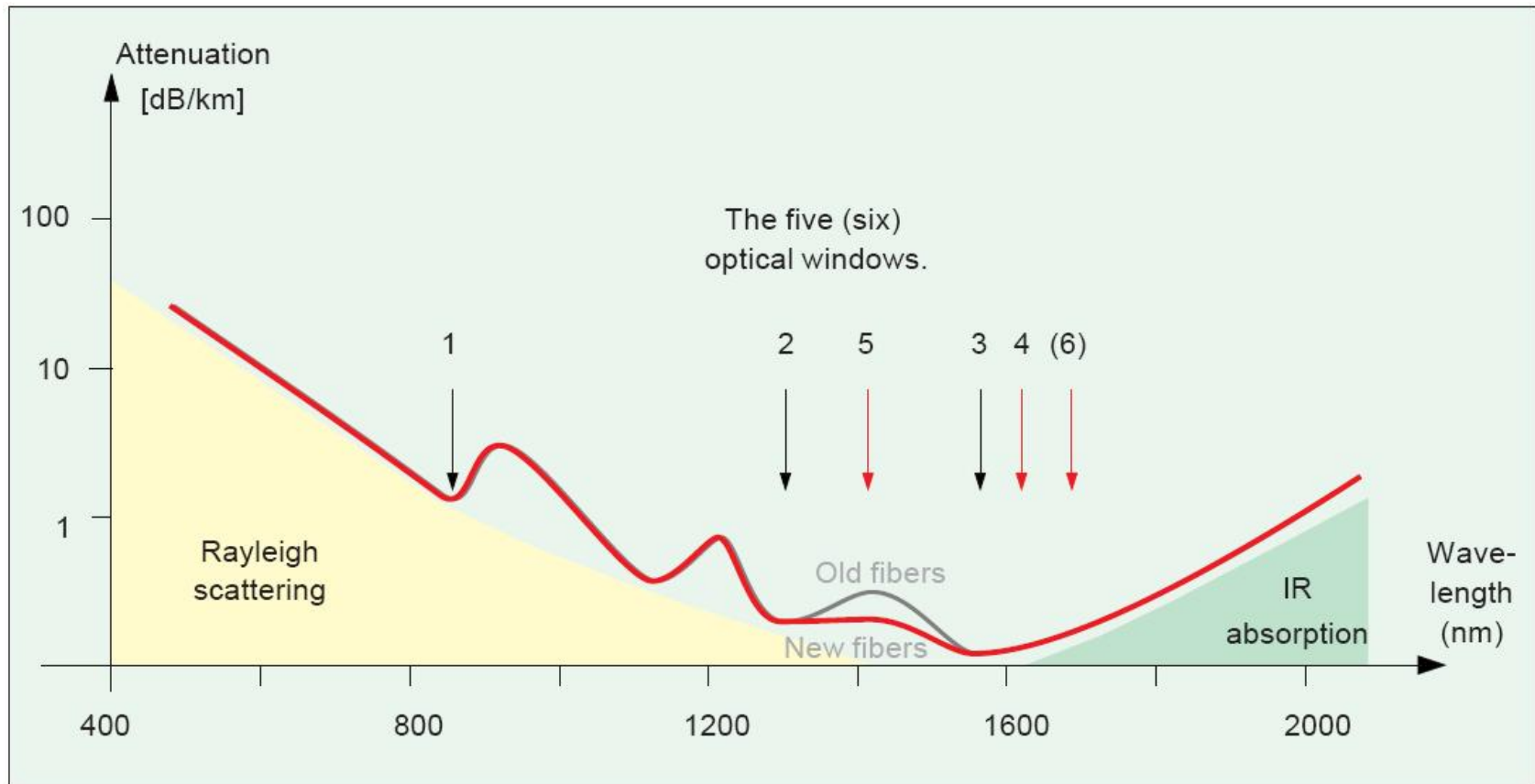


distribuit, tehnologie, **dB/km**

$$A = A_i \cdot L$$

$$A[dB] = A_i[dB/km] \cdot L[km]$$

Absorbtie

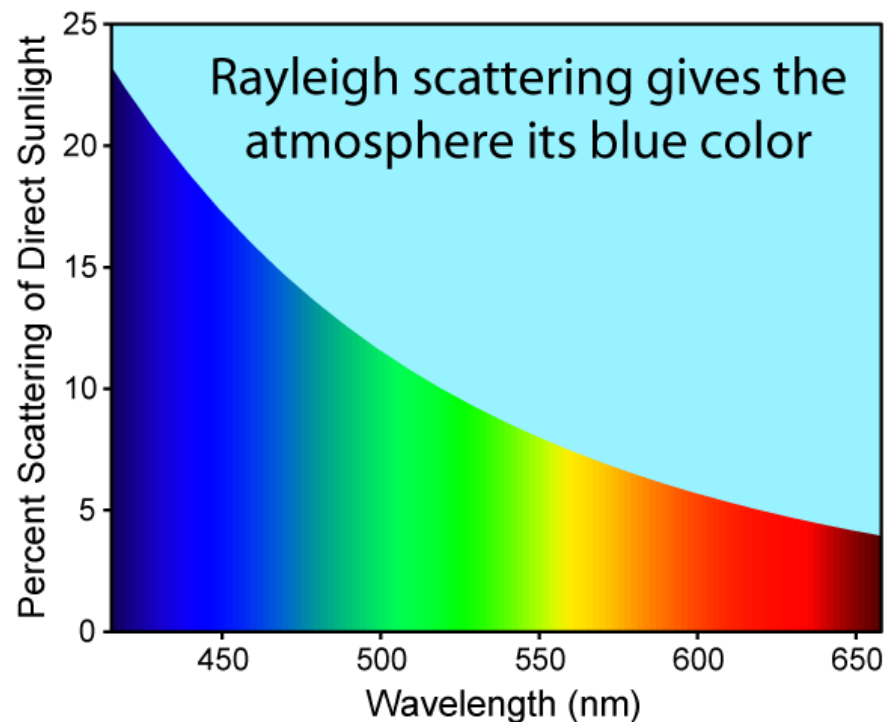


distribuit, material, dB/km

$$A[dB] = A_i[dB/km] \cdot L[km]$$

Difractie Rayleighgh

- ▶ imprastierea luminii (si a altor radiatii electromagnetice) de particule (molecule) mult mai mici decat lungimea de unda



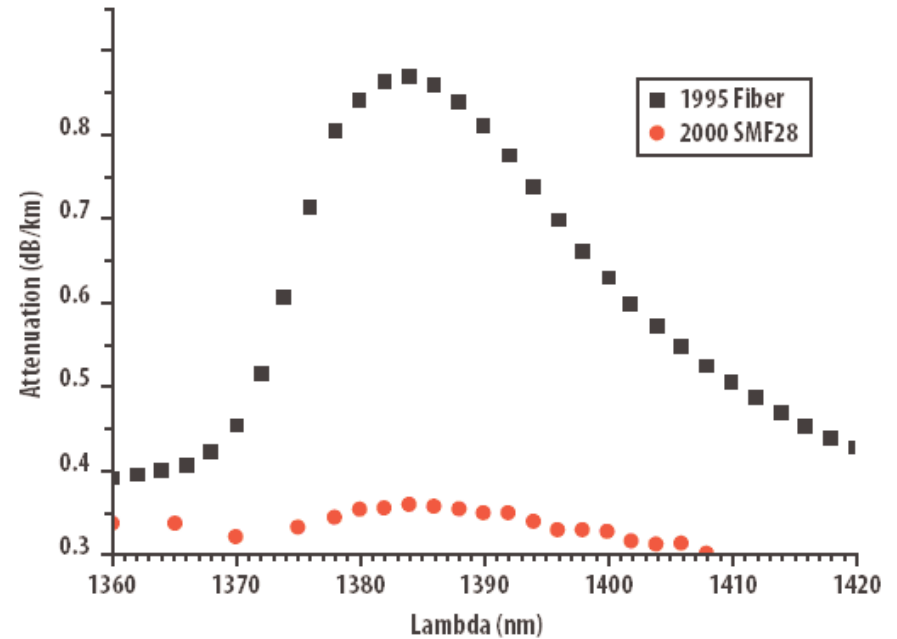
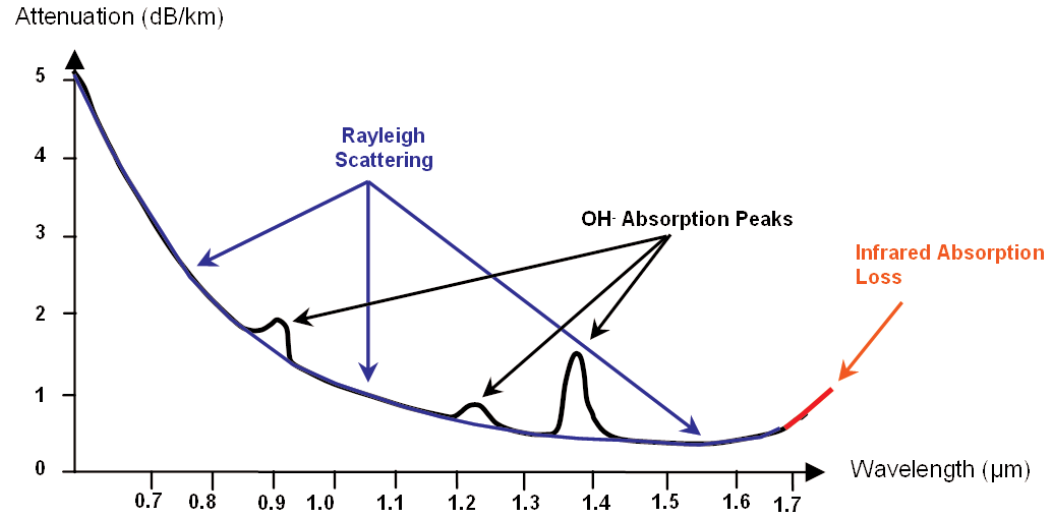
$$A \sim \frac{1}{\lambda^4}$$

Absorbentie OH

▶ Absorbentie

- 950nm
- 1244nm
- 1383nm

▶ Apa!



Fiber Attenuation Comparison

Atenuare

$$E_y(z_1) = Ct \cdot e^{-\alpha \cdot z_1} \cdot e^{j(\omega t - \beta \cdot z_1)}$$

$$E_y(z_2) = Ct \cdot e^{-\alpha \cdot z_2} \cdot e^{j(\omega t - \beta \cdot z_2)}$$

$$W, P \sim \int E^2$$

$$A = \frac{P_2}{P_1} = \frac{Ct^2 \cdot e^{-2\alpha \cdot z_2}}{Ct^2 \cdot e^{-2\alpha \cdot z_1}} = e^{-2\alpha \cdot (z_2 - z_1)}$$

$$A[dB] = 10 \log_{10} \frac{P_2}{P_1} = 10 \log_{10} \left[e^{-2\alpha \cdot (z_2 - z_1)} \right]$$

$$A[dB] = -20 \cdot \alpha \cdot (z_2 - z_1) \log_{10} e = -8.686 \cdot \alpha \cdot (z_2 - z_1)$$

$$A / L [dB / km] = -8.686 \cdot \alpha < 0$$

- ▶ Atenuarea se exprima de obicei in **dB/km**
 - ▶ de obicei valori pozitive
 - ▶ semnul = **implicit**

Calculul atenuarii

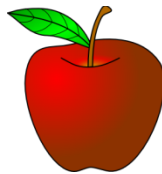
$$\text{Pierderi} = \frac{P_{out}}{P_{in}}$$

$$\text{Pierderi [dB]} = [-] 10 \cdot \log_{10} \left(\frac{P_{out}}{P_{in}} \right)$$

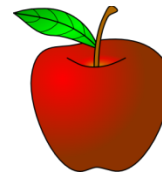
$$\text{Pierderi [dB]} = [-] (P_{out} [\text{dBm}] - P_{in} [\text{dBm}])$$



=



-



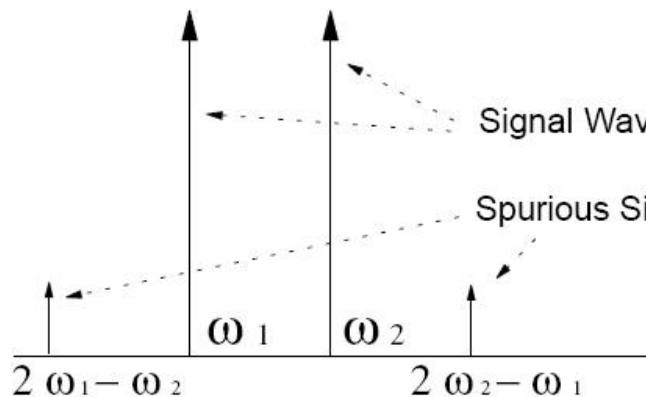
$$\text{Atenuare [dB/km]} = \frac{\text{Pierderi [dB]}}{\text{lungime [km]}}$$

Efecte neliniare in fibra

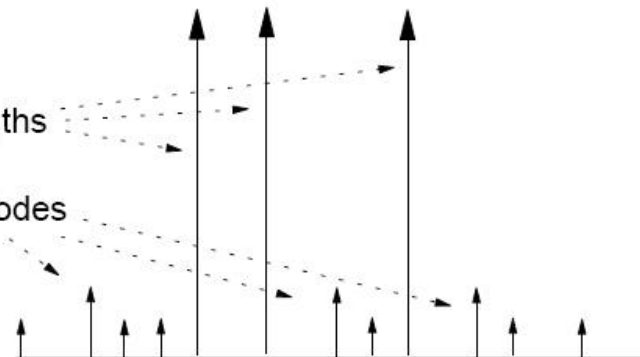
- ▶ **Stimulated Brillouin Scattering, SBC**
 - difractia luminii inspre emitator datorita undelor mecano-acustice generate in fibra
 - 6–10 dBm
- ▶ **Stimulated Raman Scattering, SRS**
 - interactiunea luminii cu vibratiile moleculare
 - 27 dBm (~1W)
- ▶ **Self Phase Modulation, SPM**
 - Frontiera impulsului implica indice de refractie variabil in timp moduland faza impulsului
 - 5 dBm
 - Cross Phase Modulation, CPM
- ▶ **Four-Wave Mixing, FWM**
 - 0 dBm

Four-Wave Mixing, FWM

Two Channels



Three Channels

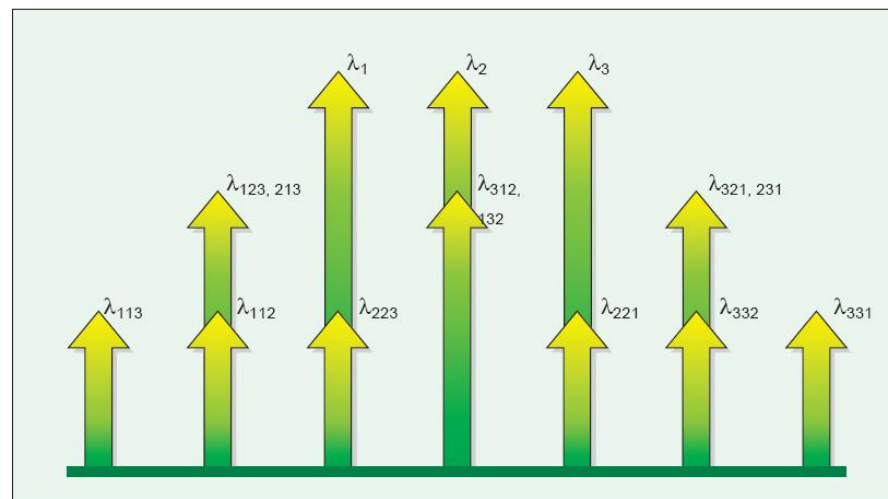


$$NL = \frac{1}{2}(N^3 - N^2)$$

$$N = 2, NL = 4$$

$$N = 3, NL = 9$$

$$N = 16, NL = 1920$$



Contact

- ▶ Laboratorul de microunde si optoelectronica
- ▶ <http://rf-opto.etti.tuiasi.ro>
- ▶ rdamian@etti.tuiasi.ro